

BIBLIOGRAFÍA

BIBLIOGRAFÍA

-
- ¹ West JB. Fisiología respiratoria. 3^a ed. Ed Panamericana. Madrid. España. 1987: pp 95-101.
- ² Schmidt RF, Thews G. Fisiología humana. Ed McGraw-Hill-Interamericana. Madrid. España. 1993: pp 605-611.
- ³ Orozco-Levi M, Gea J, Monells J, Arán X, Aguar MC, Broquetas JM. Activity of *latissimus dorsi* muscle during inspiratory threshold loads. *Eur Respir J* 1995; 8: 441-445.
- ⁴ Sobota J, Becher H. Atlas de Anatomía Humana. Ed Panamericana. Madrid. España. 1974 (17^a ed).
- ⁵ Testut L, Laterjet A. Tratado de Anatomía Humana. Ed Salvat. Barcelona. España. 1979 (9^a ed). Tomo I: pp 910-918; 921-941; 983-996.
- ⁶ Burkitt HG, Young B, Heath JW. Histología funcional Wheater 1993 (3^a ed), Ed Churchill Livingston. Madrid. España: pp 93-103.
- ⁷ Ross MH, Romrell LJ, Kaye GI. 3^a Ed. Ed Panamericana 1997. Madrid. España: pp 212-240.
- ⁸ Engel WK. The essentiality of histo and cytochemical studies of skeletal muscles in the investigation of neuromuscular disease. *Neurology* 1962; 12: 778.
- ⁹ Brooke MH, Engel WK. Hystographic analysis of human muscle biopsies with regard to fibers types. Adult male and female. *Neurology* 1969; 19: 221-233.
- ¹⁰ Burke RE, Levine DN, Tsairis P, Zajac FE. Physiological types and histochemical profiles in motor units of the gastronemius. *J Physiol (Lond)* 1973; 234: 723-748.
- ¹¹ Rochester DF. The diaphragm contractile properties and fatigue. *J Clin Invest* 1985; 75: 1397-1402.
- ¹² Sauleda J. Correlaciones entre la función y estructura de los músculos respiratorios. Tesis Doctoral 1994. Universidad Autónoma de Barcelona. Barcelona.
- ¹³ Pastó M. Función respiratoria, proteínas estructurales y actividad enzimática en el diafragma. Tesis doctoral 1998. Universidad Autónoma de Barcelona. Barcelona.
- ¹⁴ Edwards RHT, Faulkner JA. Structure and function of the respiratory muscles. The Thorax. Ed Marcel Dekker. NY 1986: 297-326.
- ¹⁵ Aguar MC. Estructura y función de los músculos respiratorios en la EPOC. Desarrollo de un modelo de biopsia ambulatoria. Tesis doctoral 1995. Universidad Autónoma de Barcelona. Barcelona.

-
- ¹⁶ Barreiro E, Ferrer A, Hernández N, Palacio J, Broquetas J, Gea J. Expiratory function and cellular properties of external oblique muscle in patients with extremely severe COPD. *Am J Respir Crit Care Med* 1999;159 (suppl):A588
- ¹⁷ Orozco-Levi M, Gea J, Sauleda J, Corominas JM, Minguela J, Arán X, Broquetas JM. Structure of the latissimus dorsi muscle and respiratory function. *J Appl Physiol* 1995; 78 (3): 1132-1139.
- ¹⁸ Epstein SK. An overview of respiratory muscle function. Respiratory muscle dysfunction in neuromuscular disease. Ed Belman. *Clin Chest Med* 1994; 15: 619-639.
- ¹⁹ Levine S, Kaiser L, Leferovich J, Tikunov B. Cellular adaptations in the diaphragm in chronic obstructive pulmonary disease. *N Engl J Med* 1997; 337: 1799-1806.
- ²⁰ McComas AJ. Skeletal Muscle. Form and Function. Human Kinetics. Champaign, USA 1996: 3-17,161-183, 215-226.
- ²¹ Leningher A. Principios de bioquímica. Ed Omega. Barcelona. 1986: pp 371-3; 379-383; 427-449.
- ²² Endow S, Titus M. Genetic approaches to molecular motors. *Annu Rev Cell Biol* 1992; 8: 29-66.
- ²³ Schiaffino S, Reggiani C. Myosin isoforms in mammalian skeletal muscle. *J Appl Physiol* 1994; 77: 493-501.
- ²⁴ Alberts B, Bray D, Lewis J, Raff M, Roberts K, Watson J. Molecular Biology of the Cell. Alberts B Ed. Garland Publishing, Inc N.Y. 1994; cap 16: 821-861.
- ²⁵ Leinwand LA, Fournier REK, Nadal-Ginard B, Shows TB. Multigene family for sarcomeric myosin heavy chain in mouse and human DNA: localization on a single chromosome. *Science* 1983; 221: 766-769.
- ²⁶ Weydert A, Daubas P, Lazaridis I, Barton P, Garner I, Leader D, Bonhomme F, Catalan J, Simon D, Guenet J, Gros F, Buckingham M. Genes for skeletal muscle myosin heavy chains are clustered and are not located on the same mouse chromosome as a cardiac myosin heavy chain gene. *Proc Natl Acad Sci* 1985; 82: 7183-7187.
- ²⁷ Pereira-Sant Ana JA, Ennion S, Sergeant AJ, Moorman AF, Goldspink G. Comparison of the molecular, antigenic and ATPase determinants of fast myosin heavy chains in rat and human: a single-fibre study. *Pflugers Arch* 1997; 435: 151-163.
- ²⁸ Barton PJR, Buckingham ME. The myosin alkali light chain proteins and their genes. *Biochem J* 1985; 231: 249-261.

-
- ²⁹ Cohen-Haguenahuer O, Barton PJ, Van Cong N, Cohen A, Masset M, Buckingham M, Frezal J. Chromosomal assignment two alkali light chain encoding the ventricular/slow skeletal muscle isoform and the atrial/fetal muscle isoform (MY13, MY14). *Hum Genet* 1989; 81: 2278-2282.
- ³⁰ Pierobon BS, Sartore S, Vitadello M, Schiaffino S. Slow myosins in vertebrate skeletal muscle. An immunofluorescence study. *J Cell Biol* 1980; 85: 672-681.
- ³¹ Kholer G, Milstein C. Continuous culture of fused cells secreting specific antibody. *Nature* 1975; 256: 495-497.
- ³² Gurtej K. Selective synthesis and degradation of slow skeletal myosin heavy chains in developing muscle fibers. *Muscle and Nerve* 1986; 9: 155-164.
- ³³ Schiaffino S, Saggin L, Viel A, Ausoni S, Sartore S, Gorza L. Muscle fiber types identified by monoclonal antibodies to myosin heavy chains. In: Biochemical aspects of physical exercise. Ed G Benzi, L Packer, N Siliprandi. Amsterdam. Holanda: Elsevier 1986; pp 27-34.
- ³⁴ Schiaffino S, Gorza L, Sartore S, Saggin L, Ausoni S, Vianello M, Gundersen K, Lomo T. Three myosin heavy chain isoforms in type 2 skeletal muscle fibers. *J Muscle Res Cell Motil* 1989; 10: 197-205.
- ³⁵ Gorza L. Identification of a novel type 2 fiber population in mammalian skeletal muscle by combined use of histochemical myosin ATPase and antimyosin monoclonal antibodies. *J Histochem Cytochem* 1990; 38: 257-265.
- ³⁶ De Nardi C, Ausoni S, Moretti P, Gorza L, Velleca M, Buckingham M, Schiaffino S. Type 2x myosin heavy chain is coded by a muscle fiber type-specific and developmentally regulated gene. *J Cell Biol* 1993; 123: 823-835.
- ³⁷ Larsson L, Edstrom L, Lindgren B, Gorza L, Schiaffino S. Myosin heavy chain composition and enzyme-histochemical and physiological properties of a novel fast-twitch motor unit type. *Am J Physiol* 1991; 261: 93-101.
- ³⁸ Bottinelli R, Schiaffino S, Reggiani C. Force-velocity relation and myosin heavy chain isoform composition in skinned fibers of rat skeletal muscle. *J Physiol (Lond)* 1991; 437: 655-672.
- ³⁹ Smerdu V, Karsch-Mizrachi I, Campione M, Leinwand L, Schiaffino S. Type IIx myosin heavy chain transcripts are expressed in type IIb fibers of human skeletal muscle. *Am J Physiol* 1994; 267: 1723-1728.

-
- ⁴⁰ Goldspink G, Scut A, Martindale J, Jaenicke Th, Turay L, Gerlach GF. Stretch and force generation induce rapid hypertrophy and myosin isoform gene switching in adult skeletal muscle. *Biochem Soc Transp* 1991; 19: 368-373.
- ⁴¹ Gea J. Myosin gene expression in the respiratory muscles. *Eur Respir J* 1997;10: 2404-2410
- ⁴² Gea J, Hamid Q, Czaika G, Zhu E, Mohan-Ram V, Goldspink G, Grassino A. Expression of myosin heavy chain isoforms in the respiratory muscles following inspiratory resistive breathing. *Am J Respir Crit Care Med* 2000; 161:1274-1278.
- ⁴³ Ramírez-Sarmiento A, Orozco-Levi M, Güell R, Barreiro E, Hernández N, Mota S, Sangenis M, Broquetas JM, Casan P, Gea J. Inspiratory muscle training in patients with chronic obstructive pulmonary disease: structural adaptation and physiologic outcomes. *Am J Respir Crit Care Med* 2002; 166: 1491-1497.
- ⁴⁴ Goldspink G, Scutt A, Loughna PT, Wells DJ, Jaenicke T, Gerlach GF. Gene expression in skeletal muscle in response to stretch and force generation. *Am J Physiol* 1992; 262: 356-363.
- ⁴⁵ Darnell J, Lodish H, Baltimore D. Molecular Cell Biology (2^a ed). Scientific American Books. New York (USA) 1990: pp 261-487, 859-902.
- ⁴⁶ Stryer L. Bioquímica. Ed Reverté. Barcelona. España. 1995 (4^a ed): pp 37, 391-404; 443-450; 483-508; 509-527.
- ⁴⁷ Herzberg O, James MN. Structure of the calcium regulatory muscle protein troponin-C at 2,8 Å resolution. *Nature* 1985 Feb 21-27; 313: 653-9.
- ⁴⁸ Oakley BR, Kirsch DR, Moris NR. A simplified ultrasensitive silver stain for detecting proteins in polyacrylamide gels. *Anal Biochem* 1980; 105: 361-363.
- ⁴⁹ Offer G, Moos C, Starr R. A new protein of the thick filaments of vertebrate skeletal myofibrils. Extraction, purification and characterization. *J Mol Biol* 1973; 74: 653-676.
- ⁵⁰ Yamamoto K, Moos C. The C-proteins of the rabbit red, white and cardiac muscles. *J Biol* 1983; 101: 116-124.
- ⁵¹ Report of the Respiratory Muscle Fatigue Workshop Group. *Am Rev Resp Dis* 1990; 142: 474-480.
- ⁵² Bellamare F, Bingland-Ritchie B. Central components of diaphragmatic fatigue assessed by phrenic nerve stimulation. *J Appl Physiol* 1987; 55: 8-15.
- ⁵³ Huymbayr RD, Litchy WJ, Gay PC, Nelson SB. Transdiaphragmatic twitch pressure: Effects on lung volume and chest wall shape. *Am Rev Respir Dis* 1989; 139: 647-652.

-
- ⁵⁴ Gea J, Orozco-Levi M, Félez M, Aguilar MC, Minguela J, Serrano S, Broquetas JM. Structure of the diaphragm in COPD: correlations with strength and endurance of inspiratory muscles. *Am J Crit Care Med* 1995; 45: A806 (abstract).
- ⁵⁵ Pastó M, Gea J, Blanco ML, Orozco-Levi M, Félez MA, Broquetas JM. A simple method to evaluate the relationship between lung volume and respiratory muscle strength in patients with severe COPD. *Eur Respir J* 1997; 10: 358s (abstract).
- ⁵⁶ Supinski GS. Respiratory muscle blood flow. *Clin Chest Med* 1988; 9: 221-223.
- ⁵⁷ Roussos C, Macklem PT. The respiratory muscles. *N Engl J Med* 1982; 307: 786-797.
- ⁵⁸ Macklem PT, Roussos C. Respiratory muscles fatigue: A cause of respiratory failure?. *Clin Sci Mol Med* 1977; 53: 419-422.
- ⁵⁹ Cohen CA, Zagelbaum G, Gross D. Clinical manifestations of muscle fatigue. *Am J Med* 1982; 73: 308-316.
- ⁶⁰ Black LF, Hyatt RE. Maximal respiratory pressures: normal values and relationship to age and sex. *Am Rev Respir Dis* 1969; 99: 696-672.
- ⁶¹ Morales P, Sanchís J, Cordero PJ, Dies JL. *Arch Bronconeumol* 1997; 33: 213-219.
- ⁶² Wilson SH, Cooke NT, Edwards RHT, Spiro SG. Predicted normal values for maximal respiratory pressures in caucasian adults and children. *Thorax* 1984; 39: 535-538.
- ⁶³ Fiz JA, Montserrat JM, Picado C, Plaza V, Agustí-Vidal A. How many manoeuvres should be done to measure maximal inspiratory mouth pressure in patients with chronic airflow obstruction. *Thorax* 1989; 44: 419-421.
- ⁶⁴ Casan P, Mayos M. Determinación de las presiones respiratorias estáticas máximas. Propuesta de procedimiento. *Arch Bronconeumol* 1990; 26: 223-228.
- ⁶⁵ Laporta D, Grassino A. Assessment of transdiaphragmatic pressures in humans. *J Appl Physiol* 1985; 58: 1469-1476.
- ⁶⁶ Gea J, Espadaler JM, Guiu R, Arán X, Seoane JL, Broquetas JM. Diaphragmatic activity induced by cortical stimulation: surface versus esophageal electrodes. *J Appl Physiol* 1993; 74: 655-658.
- ⁶⁷ Arán X, Gea J, Guiu R, Sauleda J, Broquetas JM. Comparación de tres maniobras diferentes para la obtención de la presión transdiafragmática máxima. *Arch Bronconeumol* 1992; 28: 112-115.

-
- ⁶⁸ Gallart Ll, Gea J, Aguilar MC, Broquetas JM, Puig MM. Effects of interpleural bupivacaine on respiratory muscle strength and pulmonary function. *Anesthesiology* 1995; 83: 48-55.
- ⁶⁹ Héritier F, Perret C, Lauenberger PH, Fitting JW. Assessment of inspiratory muscle strength by the sniff nasal inspiratory pressure (SNIP). *Am Rev Respir Dis* 1992; 145: A257 (abstract).
- ⁷⁰ Mulvey DA, Elliot NW, Koulouris NG, Carroll MP, Moxham J, Green M. Sniff esophageal and nasopharyngeal pressures and maximal relaxation rate in patients with respiratory dysfunction. *Am Rev Respir Dis* 1991; 143: 950-953.
- ⁷¹ Gandevia B, Hugh-Jones P. Terminology for measurements of ventilatory capacity. *Thorax* 1957; 12: 290-293.
- ⁷² Troosters T, Vilaró J, Rabinovich R, Casas A, Barberá JA, Rodriguez-Roisin R, Roca J. Physiological responses to the 6-min walk test in patients with chronic obstructive pulmonary disease. *Eur Respir J* 2002; 20: 564-569.
- ⁷³ Nickerson BG, Keens TC. Measuring ventilatory muscle endurance in humans as sustainable inspiratory pressure. *J Appl Physiol* 1982; 52: 768-772.
- ⁷⁴ Martyn JB, Moreno RH, Paré PD, Pardy RL. Measurement of inspiratory muscle performance with incremental threshold loading. *Am Rev Respir Dis* 1987; 135: 919-923.
- ⁷⁵ Orozco-Levi M, Gea J, Ferrer A, Méndez R, Ramirez-Sarmiento A, Maldonado D, Broquetas J. Expiratory muscle endurance in middle-aged healthy subjects. *Lung* 2002; 178: 1-11.
- ⁷⁶ Ramirez-Sarmiento A, Orozco-Levi M, Barreiro E, Méndez R, Ferrer A, Broquetas J, Gea J. Expiratory muscle endurance in chronic obstructive pulmonary disease. *Thorax* 2002; 57: 132-136.
- ⁷⁷ Roussos C, Macklem PT. Diaphragmatic fatigue in man. *J Appl Physiol* 1977; 43: 189-197.
- ⁷⁸ Bellemare F, Grassino A. Evaluation of human diaphragm fatigue. *J Appl Physiol* 1982; 53: 1196-1206.
- ⁷⁹ Mulvey DA, Koulouris NG, Elliot MW, Laroche CM, Moxham J, Green M. Inspiratory muscle relaxation rate after voluntary isocapnic ventilation in humans. *J Appl Physiol* 1991; 70: 2173-2180.

-
- ⁸⁰ Moxham J, Edwards RHT, Aubier M, DeTroyer A, Farkas G, Macklem PT, Roussos C. Changes in EMG power spectrum (high-to-low ratio with force fatigue in humans). *J Appl Physiol* 1982; 53: 1094-1099.
- ⁸¹ Beck J, Sinderby C, Lindstrom L, Grassino A. Effects of lung volume of diaphragm EMG signal strength during voluntary contractions. *J Appl Physiol* 1998; 85: 1123-1134.
- ⁸² Sinderby C, Beck J, Spahija J, Weinberg J, Grassino A. Voluntary activation of the human diaphragm in health and disease. *J Appl Physiol* 1998; 85: 2146-2158.
- ⁸³ Orozco-Levi M. Cambios adaptativos en la estructura subcelular del diafragma humano. Asociaciones con la EPOC. Tesis Doctoral. Universidad Autónoma de Barcelona. Barcelona.1995.
- ⁸⁴ Smilowsky T, Yan S, Gaithier AP, Macklem PT. Contractile properties of the human diaphragm during chronic hyperinflation. *N Engl J Med* 1991; 325: 917-923.
- ⁸⁵ Gea J, Orozco-Levi M, Aguar MC, et al. Adaptative changes concerning the type of fibers and isoforms of myosin in the external intercostal muscle of COPD patients. *Eur Respir J* 1996; 9(suppl 23): 160S.
- ⁸⁶ Orozco-Levi M, Gea J, Aguar MC, Félez MA, Jiménez-Fuentes MA, Broquetas JM. Changes in the capillary content in the diaphragm of COPD patients: A sort of muscle remodelling?. *Am J Respir Crit Care Med* 1996; 153 (suppl): A298.
- ⁸⁷ Jiménez-Fuentes MA, Gea J, Orozco-Levi et al. Densidad capilar y función respiratoria en el músculo intercostal externo. *Arch Bronconeumol* 1999; 35: 471-476.
- ⁸⁸ Rochester D, Braun NMT, Arora NS. Respiratory muscle strenght in chronic obstructive pulmonary disease. *Am Rev Respir Dis* 1979; 119: 151-154.
- ⁸⁹ Bellermare F, Grassino A. Force reserve of the diaphragm in patients with chronic obstructive pulmonary disease. *J Appl Physiol* 1983; 55: 8-15.
- ⁹⁰ Orozco-Levi M, Gea J, Monells J, Aguar MC, Broquetas JM. Activity of the *latissimus dorsi* muscle during inspiratory threshold loads. *Eur Respir J* 1995; 8: 441-445.
- ⁹¹ Sharp JT, Goldberg N, Druz W, Danon J. Relative contributins of the rib cage and abdomen to breathing in normal subjects. *J Appl Physiol* 1975; 39: 608-618.
- ⁹² Barberá JA, Roca J, Ferrer A, Félez MA, Díaz O, Roger N, Rodriguez-Roisín R. Mechanisms of worsening gas exchange during acute exacerbations of chronic obstructive pulmonary disease. *Eur Respir J* 1997; 10: 1285-1291.

-
- ⁹³ Arora NS, Rochester DF. Effect of body weight and muscularity on human diaphragm muscle mass, thickness and area. *J Appl Physiol* 1982; 52: 64-70.
- ⁹⁴ Lewis MI, Belman JM. Nutricion and the respiratory muscles. *Clin Chest Med* 1988; 9: 337-348.
- ⁹⁵ Wade AJ, Marbut MM, Round JM. Muscle fiber type and aetiology of obesity. *Lancet* 1990; 355: 805-808.
- ⁹⁶ Skeletal muscle dysfunction in chronic obstructive pulmonary disease. American Thoracic Society/European Respiratory Society. *Am J Respir Crit Care Med* 1999; 159: S1-S40.
- ⁹⁷ Hamilton AL, Killian KJ, Sumers E, Jones NL. Muscle strength, symptom intensity and exercise capacity in patients with cardiorespiratory disorders. *Am J Respir Crit Care Med* 1995; 152: 2021-2031.
- ⁹⁸ Gosselink R, Troosters T, Decramer M. Peripheral muscle weakness contributes to exercise limitation in COPD. *Am J Respir Crit Care Med* 1996; 153: 976-980.
- ⁹⁹ Gosselink R, Decramer M. Peripheral skeletal muscles and exercise performance in patients with chronic obstructive pulmonary disease. *Monaldi Arch Chest Dis* 1998; 53: 419-423.
- ¹⁰⁰ Wuyam B, Payen JF, Levy P, Bensaidane H, Reutenuer H, Le Bas JF, Benabid AL. Metabolism and anaerobic capacity of skeletal muscle in chronic respiratory failure related to chronic obstructive pulmonary disease. *Eur Respir J* 1992; 5: 157-162.
- ¹⁰¹ Hughes RL, Katz H, Sahgal V, Campbell JA, Hartz R, Shields TW. Fiber size and energy metabolites in five separate muscles from patients with chronic obstructive lung disease. *Respiration* 1983; 44: 321-328.
- ¹⁰² Hildebrand IL, Sylven C, Esbjorsson M, Hellstrom K, Jansson E. Does chronic hypoxaemia induce transformation of fiber types?. *Acta Physiol Scand* 1991; 141: 435-439.
- ¹⁰³ Satta A, Migliori GB, Spanevello A, Neri M, Bottinelli R, Canepari M, Pellegrino MA, Reggiani C. Fiber types in skeletal muscles of chronic obstructive pulmonary disease patients related to respiratory function and exercise tolerance. *Eur Respir J* 1997; 10: 2853-2860.
- ¹⁰⁴ Maltais F, Sullivan MJ, Leblanc P, Duscha BD, Schachat FH, Simard C, Blank JM, Jobin J. Altered expression of myosin heavy chain in the vatus lateralis muscle in patients with COPD. *Eur Respir J* 1999; 13: 850-854.

-
- ¹⁰⁵ Simard C, Maltais F, Leblanc P, Simard PM, Jobin J. Mitochondrial and capillarity in vastus lateralis muscle of COPD patients: electron microscopy study. *Med Sci Sports Exerc* 1996; 28: S95.
- ¹⁰⁶ Jakobsson P, Jorfeldt L, Henriksson J. Metabolic enzyme activity in the quadriceps femoris muscle in patients with severe chronic obstructive pulmonary disease. *Am J Crit Care Med* 1995; 151: 374-377.
- ¹⁰⁷ Sato Y, Asoh T, Honda Y, Fujimatsu Y, Higuchi I, Oizumi K. Morphologic and histochemical evaluation of muscle in patients with chronic pulmonary emphysema manifesting generalized emaciation. *Eur Neurol* 1997; 37: 116-121.
- ¹⁰⁸ Mathews CK, Holde KE. Bioquímica (2^a ed). Ed McGraw-Hill-Interamericana. Madrid. España. 1998 : pp 459-471; 494-514.
- ¹⁰⁹ Voet D, Voet JG. Bioquímica. Ed Omega. Barcelona. España. 1990: pp 439-445.
- ¹¹⁰ Greenhaff PL, Timmons JA. Piruvate dehydrogenase complex activation status and acetyl group availability as a site of interchange between anaerobic and oxidative metabolism during intense exercise. *Adv Exp Med Biol* 1998; 441: 287-298.
- ¹¹¹ Conley KE, Kushmerick MJ, Jubrias SA. Glycolysis is independent of oxygenation state in stimulated human skeletal muscle in vivo. *J Physiol (Lond)* 1998; 511: 935-945.
- ¹¹² Conley KE, Blei ML, Richards TL, Kushmerick MJ, Jubrias SA. Activation of glycolysis in human muscle in vivo. *Am J Physiol* 1997; 273: 306-315.
- ¹¹³ Tsika RW, Herrick RE, Baldwin KM. Interaction of compensatory hypertrophy and hindlimb suspension on myosin isoform expression. *J Appl Physiol* 1987; 62: 2180-2186.
- ¹¹⁴ Lowry CV, Kimmey JS, Felder S, Chi M, Kaiser K, Passoneau P, Kirk K, Lowey O. Enzyme patterns in single human muscle fibers. *J Biol Chem* 1978; 25: 8269-8277.
- ¹¹⁵ Gollnick PD, Armstrong RB, Saltin B, Saubert CW, Sembrowich WL, Shepherd RE. Effect of training on enzyme activity and fiber composition of human skeletal muscle. *J Appl Physiol* 1973; 34: 107-111.
- ¹¹⁶ Terjung RL. Muscle fiber involvement during training of different intensities and durations. *Am J Physiol* 1976; 230: 946-950.
- ¹¹⁷ Levine S, Kaiser L, Leferovich J, Tikunov B. Cellular adaptations in the diaphragm in chronic obstructive pulmonary disease. *N Engl J Med* 1997; 337: 1799-1806.
- ¹¹⁸ Mercadier JJ, Schwartz K, Schiaffino S, Wisnewsky C, Ausoni S, Heimburger M, Marrash R, Pariente R, Aubier M. Myosin heavy chain gene expression changes in the

diaphragm of patients with chronic lung hyperinflation. *Am J Physiol* 1998; 274: 1527-1534.

¹¹⁹ Sánchez J, Medrano G, Debesse B, Riquet M, Derenne JP. Muscle fibre types in costal and crural diaphragm in normal men and in patients with moderate chronic respiratory disease. *Bull Eur Physiopathol Respir* 1985; 21: 351-356.

¹²⁰ Whittom F, Jobin J, Simard PM, Leblanc P, Simard C, Bernard S, Belleau R, Maltais F. Histochemical and morphological characteristics of the vastus lateralis muscle in patients with chronic obstructive pulmonary disease. *Med Sci Sports Exerc* 1998; 30: 1467-1474.

¹²¹ Maltais F, Simard AA, Simard C, Jobin J, Desgagnés P, Leblanc P. Oxidative capacity of the skeletal muscle and lactic acid kinetics during exercise in normal subjects and in patients with COPD. *Am J Respir Crit Care Med* 1996; 153: 288-293.

¹²² Wibom R, Hultman E, Johansson M, Matherei K, Constantin-Teodosiu D, Schantz PG. Adaptation of mitochondrial ATP production in human skeletal muscle to endurance training and detraining. *J Appl Physiol* 1992; 73: 2004-2010.

¹²³ Halseth A, Fotg D, Fregosi R, Henriksen E. Metabolic responses of rat respiratory muscles to voluntary exercise training. *J Appl Physiol* 1995; 79: 902-907.

¹²⁴ Sánchez J, Bastien C, Medrano G, Riquet M, Drenne JP. Metabolic enzymatic activities in the diaphragm of normal men and patients with moderate chronic obstructive pulmonary disease. *Bull Eur Physiopathol Respir* 1984; 20: 535-540.

¹²⁵ Sánchez J, Brunet A, Medrano G, Debesse B, Derenne J. Metabolic enzymatic activities in the intercostal and serratus muscles and the latissimus dorsi of middle-aged normal men and patients with moderate obstructive pulmonary disease. *Eur Respir J* 1988; 1: 376-383.

¹²⁶ Pastó M, Gea J, Blanco ML, Orozco-Levi M, Pallás O, Masdeu MJ, Broquetas J. Actividad metabólica en el músculo intercostal externo de pacientes con EPOC. *Arch Bronconeumol* 2001; 37:108-114.

¹²⁷ Linossier MT, Dormois D, Perier C, Frey J, Geyssant A, Denis C. Enzyme adaptations of human skeletal muscle during bicycle short-sprint training and detraining. *Acta Physiol Scand* 1997; 161: 439-445.

¹²⁸ Holm J, Dahllof AG, Schersten T. Metabolic activity in human skeletal muscle: Effect of peripheral artery insufficiency. *Eur J Clin Invest* 1972; 2: 321-335.

-
- ¹²⁹ Jansson E, Sylven C, Arvidson I, Eriksson E. Increase in myoglobin content and decrease in oxidative enzyme activities by leg muscle immobilization in man. *Acta Physiol Scand* 1988;132: 515-517.
- ¹³⁰ Sauleda J, García-Palmer F, Wiesner RJ, Tarraga S, Harting I, Tomás P, Gómez C, Saus C, Palou A, Agustí AGN. Cytochrome oxidase activity and mitochondrial gene expression in skeletal muscle of patients with chronic obstructive pulmonary disease. *Am Respir Crit Care Med* 1998, 157: 1413-1417.
- ¹³¹ Gea J, Pastó M, Carmona MA, Orozco-Levi M, Palomeque J, Broquetas J. Metabolic characteristics of the deltoid muscle in patients with chronic obstructive pulmonary disease. *Eur Respir J* 2001; 17: 1-7.
- ¹³² Gustafsson T, Kraus WE. Exercise-induced angiogenesis-related growth and transcription factors in skeletal muscle, and their modification in muscle pathology. *Frontiers in Bioscience* 6, 2001; 1: d75-89.
- ¹³³ Yang HT, Ogilve RW, Terjung RL. Low-intensity training produces muscle adaptations in rats with femoral artery stenosis. *Am J Physiol* 1991; 71: H1822-1829.
- ¹³⁴ Sundberg CJ. Exercise and training during graded leg ischaemia in healthy man. *Acta Physiol Scand* 1994; 150 (suppl):1-50.
- ¹³⁵ Breen EC, Johnson EC, Wagner H, Tseng HM, Sung LA, Wagner PD. Angiogenic growth factor mRNA responses in muscle to a single bout of exercise. *J Appl Physiol* 1996; 81: 355-361.
- ¹³⁶ Hoppeler H. Vascular growth in hypoxic skeletal muscle. *Adv Exp Med Biol* 1999; 474: 277-286.
- ¹³⁷ Hudlicka O, Price S. The role of blood flow and/or muscle hypoxia in capillary growth in chronically stimulated fast muscles. *Pflugers Arch* 1990; 417: 67-72.
- ¹³⁸ Blomstrand EG, Saltin B. Maximum rate of oxygen uptake by humans skeletal muscle in relation to maximal activities of enzymes in Krebs cycle. *J Physiol* 1997; 501: 455-460.
- ¹³⁹ Skorjanc D, Jaschinski F, Heine G, Pette D. Sequential increases in capillarization and mitochondrial enzymes in low-frequency-stimulated rabbit muscle. *Am J Physiol* 1998; 274: C810-818.
- ¹⁴⁰ Ingier F. Effects of endurance training on muscle fiber ATPase activity, capillary supply and mitochondrial content in man. *J Physiol* 1979; 294: 419-432.

-
- ¹⁴¹ Klausen K, Andersen LB, Pelle I. Adaptative changes in work capacity, skeletal muscle capillarization and enzyme levels during training and detraining. *Acta Physiol Scand* 1981; 113: 9-16.
- ¹⁴² Tesch P, Thorsson A, Kaiser P. Muscle capillary supply and fiber type characteristics in weight and power lifters. *J Appl Physiol* 1984; 56: 35-38.
- ¹⁴³ Andersen P, Henriksson J. Capillary supply of the quadriceps femoris muscle of man: adaptative response to exercise. *J Physiol* 1977; 294: 419-432.
- ¹⁴⁴ Mizuno M, Secher NH, Saltin B. Fiber types, capillary supply and enzyme activities in human intercostal muscles. *Clin Physiol* 1985; 5: 121-135.
- ¹⁴⁵ Mizuno M, Secher NH. Histochemical characteristics of human expiratory and inspiratory intercostal muscles. *J Appl Physiol* 1989; 67: 592-598.
- ¹⁴⁶ Whittom F, Jobin J, Simard PM, Leblanc P, Simard C, Bernard S, Belleau R, Maltais F. Histochemical and morphological characteristics of the vastus lateralis muscle in patients with chronic obstructive pulmonary disease. *Med Sci Sports Exerc* 1998; 30: 1467-1474.
- ¹⁴⁷ McCall GE, Byrnes WC, Dickinson A, Pattany PM, Fleck SJ. Muscle hypertrophy, hyperplasia, and capillary density in college men after resistance training. *J Appl Physiol* 1996; 81: 2004-2012.
- ¹⁴⁸ Macdonagh MJ, Davies TM. Adaptative response of mammalian skeletal muscle to exercise with high loads. *Eur J Appl Physiol* 1984; 52: 139-155.
- ¹⁴⁹ Heilig A, Pette D. Changes in transcriptional activity of chronically stimulated fast twitch muscle. *FEBS Lett* 1983; 153: 211-214.
- ¹⁵⁰ Tesch PA, Thorsson A, Essen-Gustavsson B. Enzyme activities of FT and ST muscle fibers in heavy-resistance trained athletes. *J Appl Physiol* 1989; 67: 83-87.
- ¹⁵¹ Luthi JM, Howald H, Claasen H, Rosler K, Vock P, Hoppeler H. Structural changes in skeletal muscle with heavy resistance exercise. *Int J Sports Med* 1986; 7: 123-127.
- ¹⁵² Hoppeler H. Exercise induced ultrastructural changes in skeletal muscle. *Int J Sports Med* 1986; 7: 187-204.
- ¹⁵³ Saltin B, Gollnik PD. Skeletal muscle adaptability: significance for metabolism and performance. In: Handbook of Physiology. Skeletal muscle. Bethesda (MD, USA): *Am Physiol Soc* 1983; sec 10, chapt 19: pp 555-631.
- ¹⁵⁴ Dudley GA, Djamil R. Incompatibility of endurance and strength training modes of exercise. *J Appl Physiol* 1985; 59: 1446-1451.

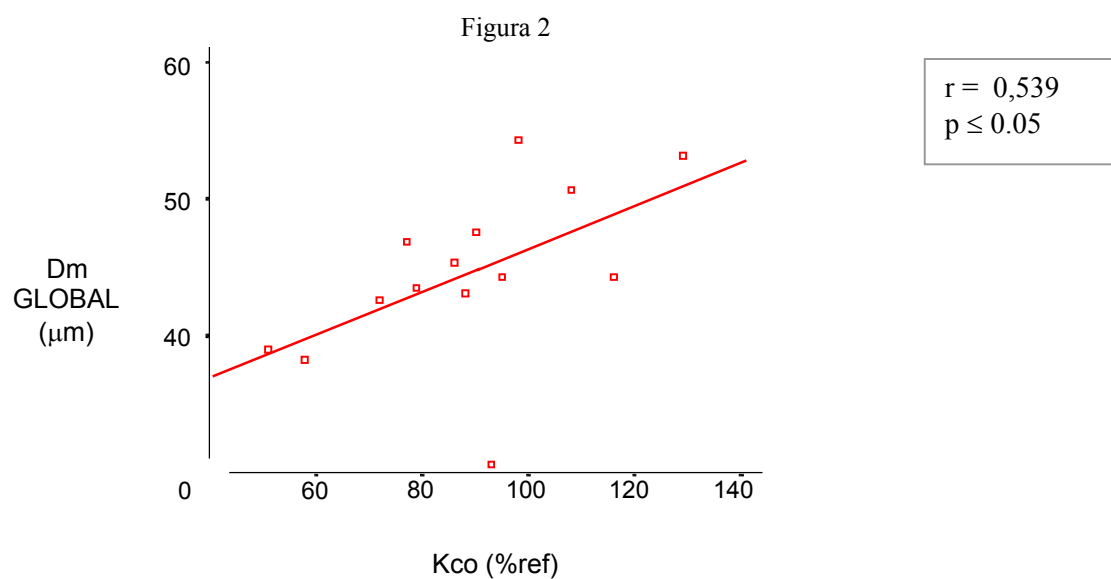
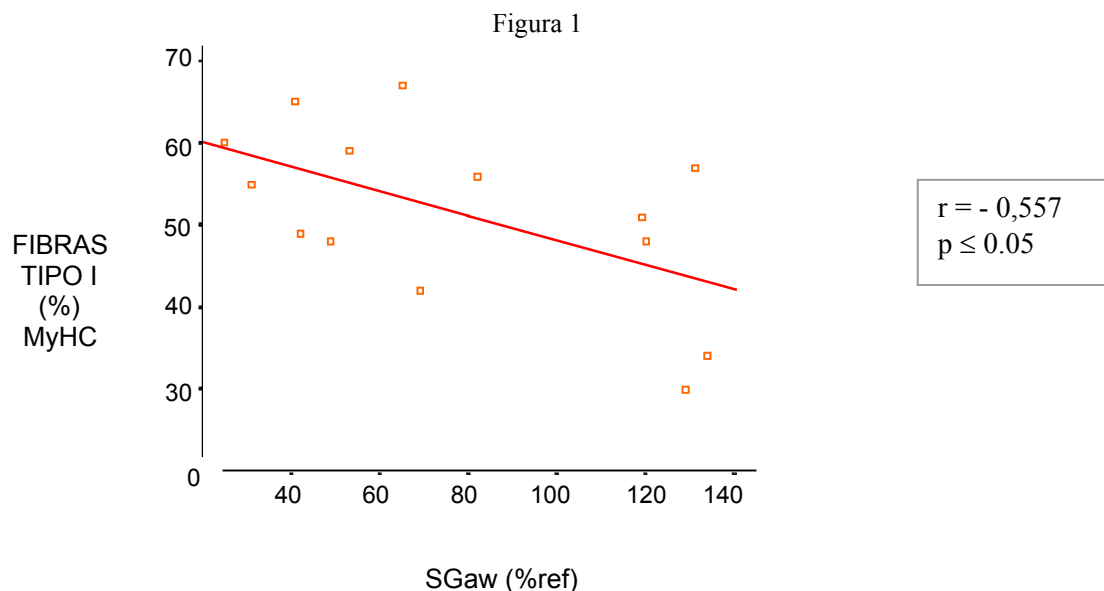
-
- ¹⁵⁵ Sale DG, Macdougall JD, Jacpbs I, Garner S. Interaction between concurrent strength and endurance training. *J Appl Physiol* 1990; 68: 260-270.
- ¹⁵⁶ The working party obesity. A report of the Royal College of Physicians. *J R Coll Physicians Lond* 1983; 17: 5-65.
- ¹⁵⁷ Mathiowetz V, Dove M, Kashman N, Rogers S. Grip and pinch strength: normative data for adults. *Arch Phys Med Rehabil* 1985; 66: 69-72.
- ¹⁵⁸ Roca J, Sanchís J, Agustí Vidal A, et al. Spirometric reference values for a mediterranean population. *Bull Eur Physiol Respir* 1986; 22: 217-224.
- ¹⁵⁹ Roca J, Burgos F, Barberá JA, et al. Prediction equations for plethysmographic lung volumes. *Respir Med* 1998; 92: 454-460.
- ¹⁶⁰ Roca J, Segarra F, Rodriguez-Roisín R, Agustí-Vidal D. Static lung volumes and single-breath diffusing capacity reference values for a latin population. *Am Rev Respir Dis* 1990; 141: 1026-1032.
- ¹⁶¹ Pastó M, Minguela J, Orozco-Levi M, Palacio J, Félez M, Broquetas J, Gea J. Obtención de muestras de diafragma humano en el curso de laparotomía alta. Análisis estructural. *Arch Bronconeumol* 2000 Jan; 36: 19-24.
- ¹⁶² Srere PA. Citrate synthase. *Methods Enzymol* 1969; 13: 3-11.
- ¹⁶³ Zammit VA, Newsholme EA. The maximum activities of hexokinase, phosphorylase, phosphofructokinase, glycerol phosphate dehydrogenase, lactate dehydrogenase, octopine dehydrogenase, phosphoenolpyruvate, carboxykinase, nucleoside diphosphatase, glutamate-oxalate transaminase and arginine kinase in relation of carbohydrate utilisation in muscle from invertebrates. *Biochem J* 1976; 160: 447-462.
- ¹⁶⁴ Tesch PA, Thorsson A, Gustavsson BE. Enzyme activities of FT and ST muscle fibers in heavy resistance trained athletes. *J Appl Physiol* 1989; 67: 83-87.
- ¹⁶⁵ Gea J, Gallego F, Barreiro E, et al. Expression of the genes codifying Myosin Heavy Chain isoforms in the diaphragm of human beings with normal lung function. *Am J Respir Crit Care Med* 1998; 157 (suppl): A670.
- ¹⁶⁶ De Troyer A. The electro-mechanical response of canine inspiratory intercostal muscles to increased resistance: the caudal rib-cage. *J Physiol* 1992; 451: 463-476
- ¹⁶⁷ Decramer M, Jiang TX, Demedts M. Effects of acute hyperinflation on chest wall mechanics in dogs. *J Appl Physiol* 1987; 63: 1493-1498.

¹⁶⁸ Méndez R, Rámirez-Sarmiento A, Orozco-Levi M, Borrat X, Broquetas JM, Gea J. Evidence of deltoid muscle recruitment in COPD patients and the theory of muscle compartments. *Am J Respir Crit Care Med* 2000; 161: A519.

¹⁶⁹ Hernández N, Orozco-Levi M, Belalcázar V, Pastó M, Minguella J, Broquetas JM, Gea J. Dual structural changes of the deltoid muscle in patients with chronic obstructive pulmonary disease. *Respir Physiol Neurobiol* 2003; 134: 219-229.

DIAFRAGMA

Estructura fibrilar con función pulmonar (población total)



Estructura fibrilar con función pulmonar (exclusivamente pacientes con EPOC)

Figura 3

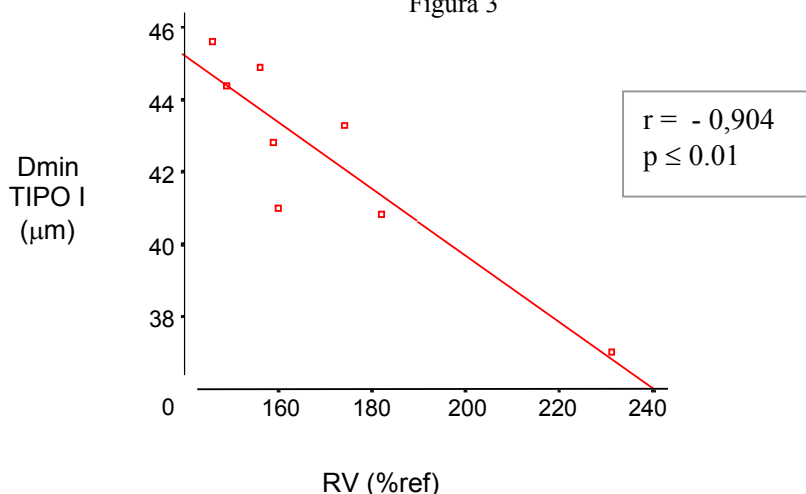


Figura 4

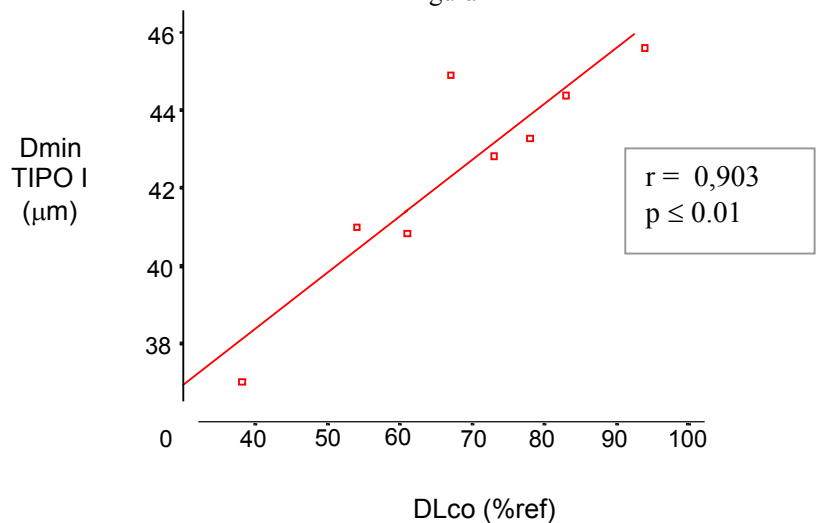
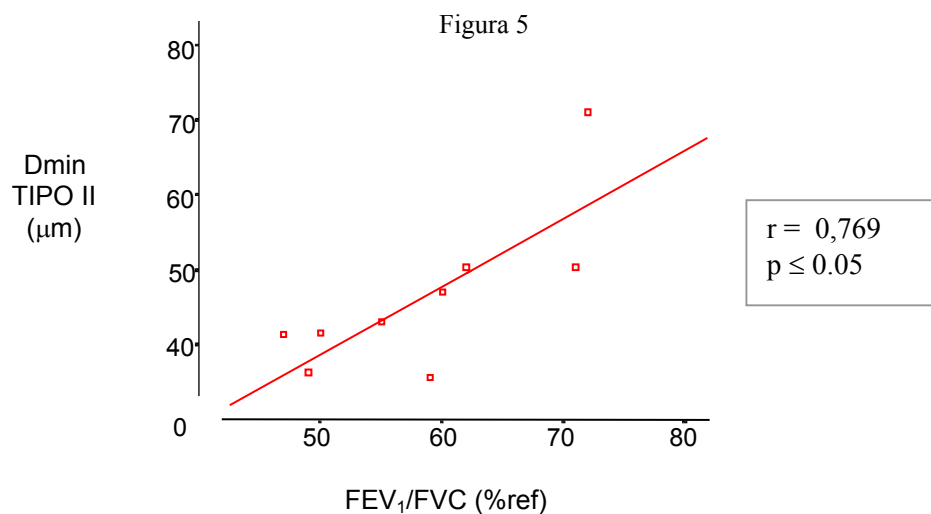
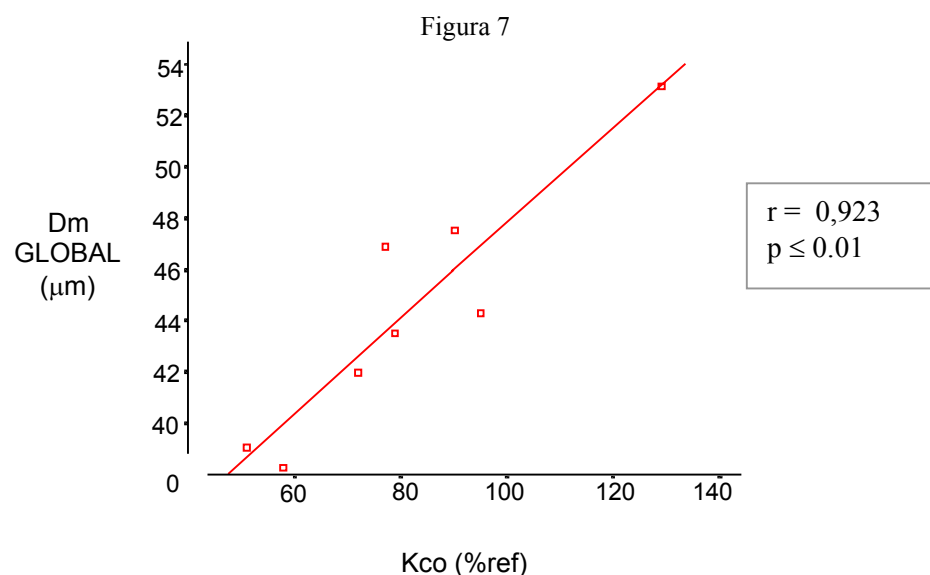
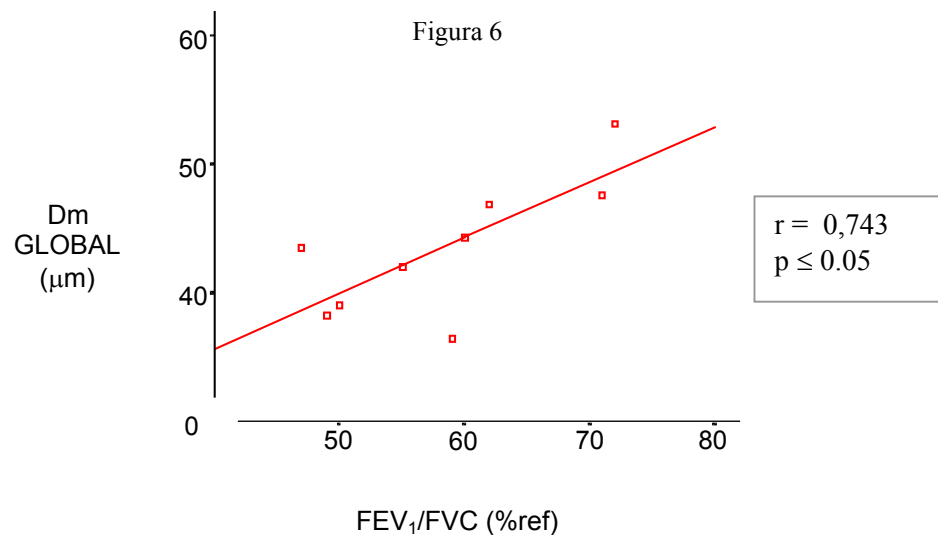


Figura 5





Actividad enzimática con función pulmonar (Población total)

Figura 8

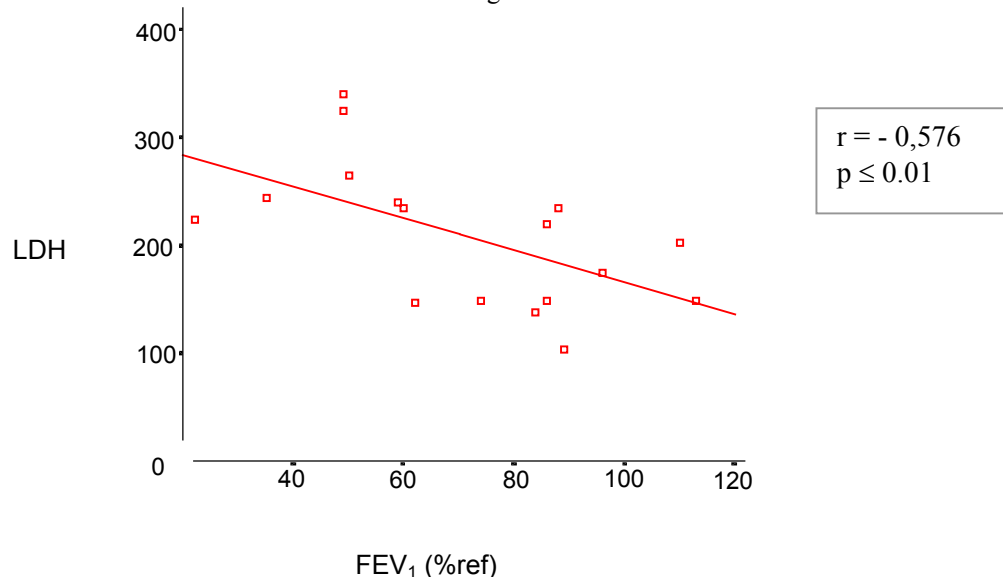


Figura 9

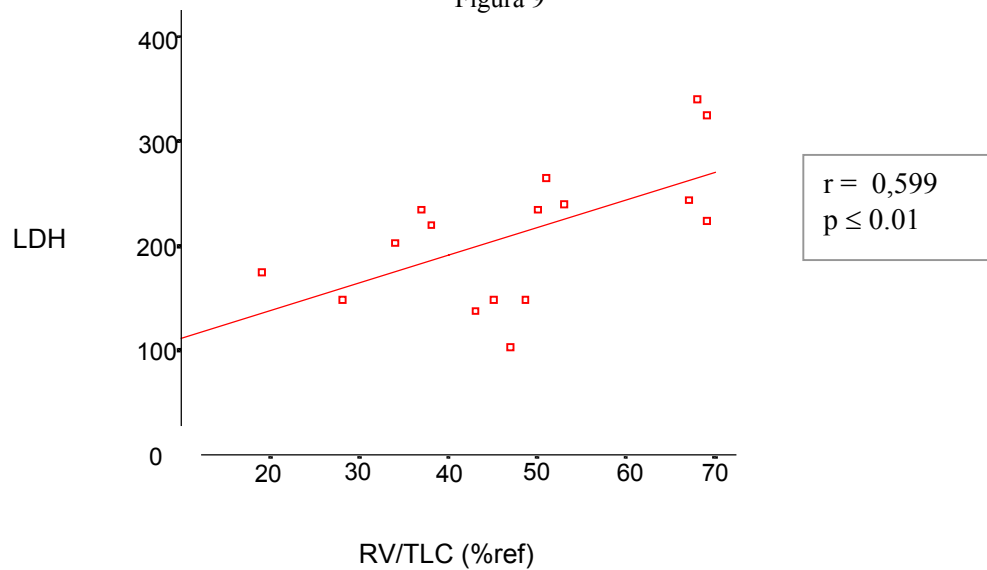


Figura 10

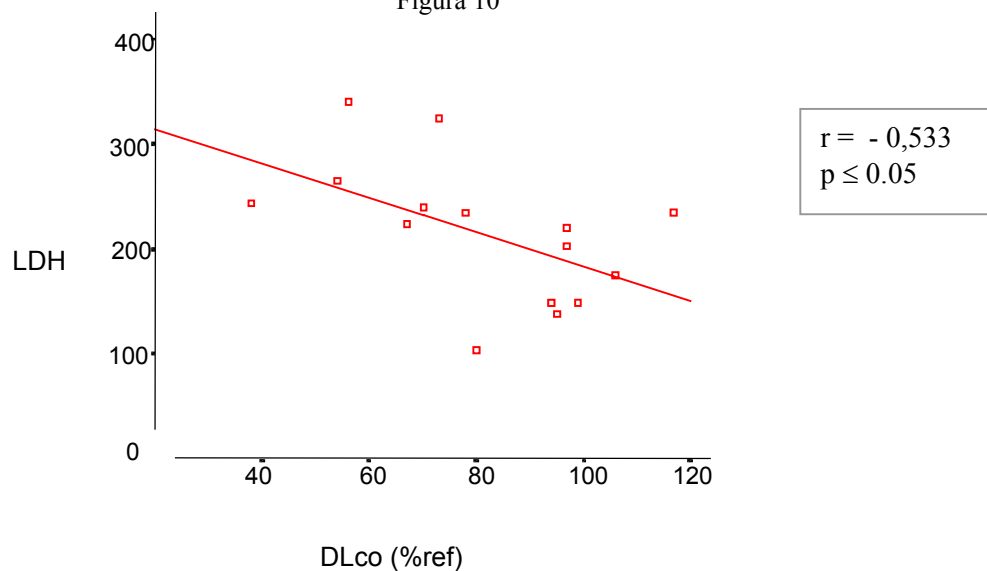
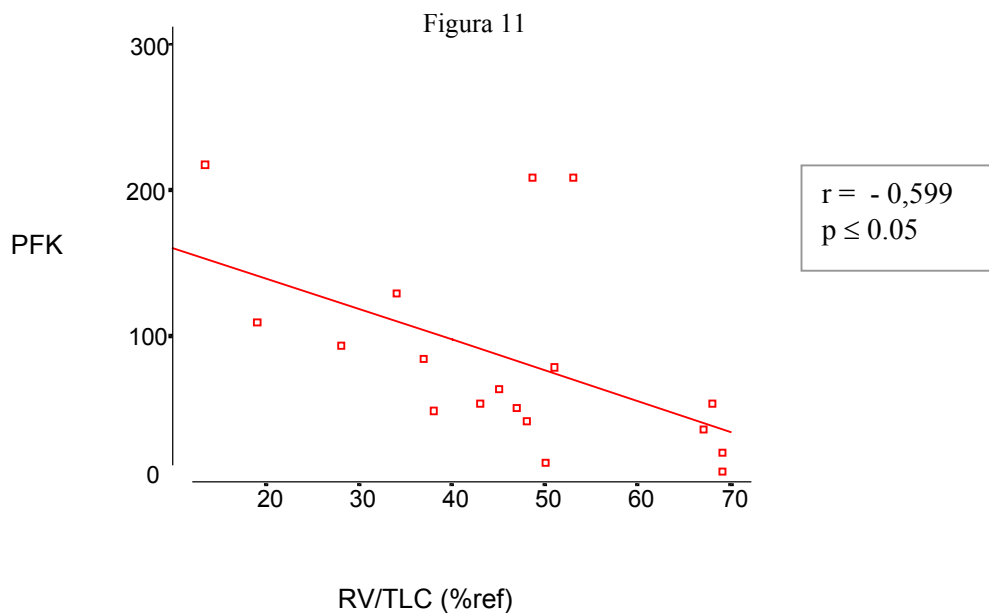
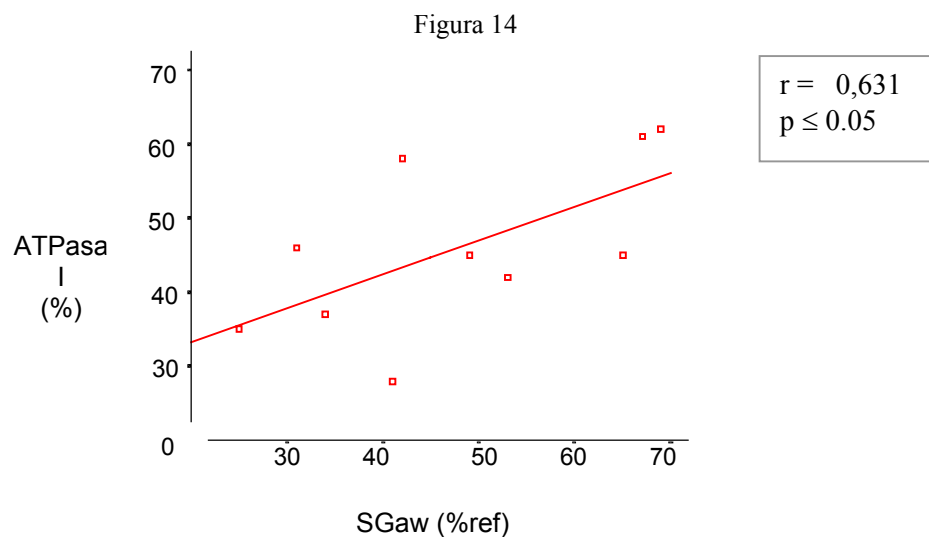
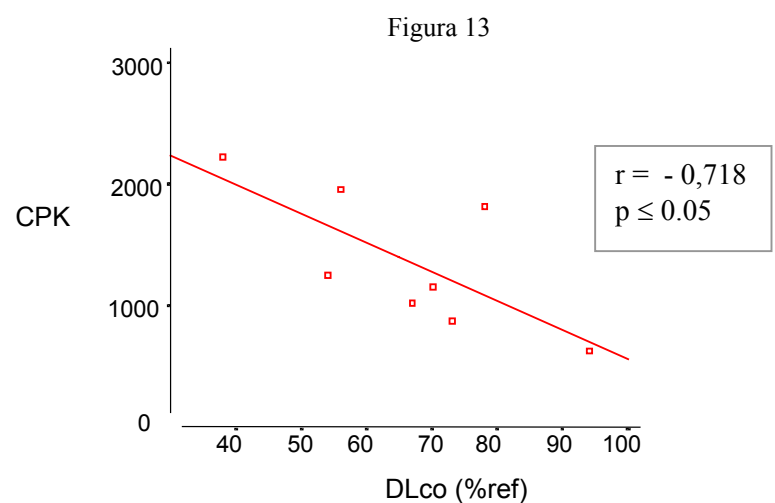
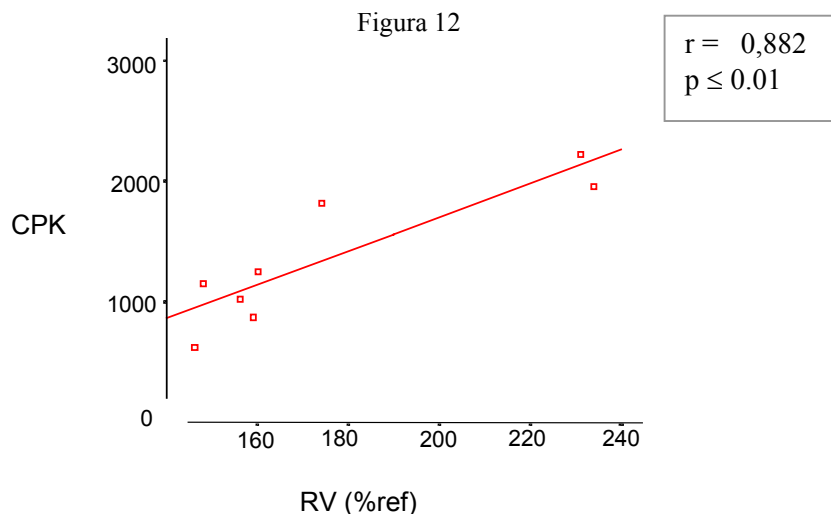


Figura 11

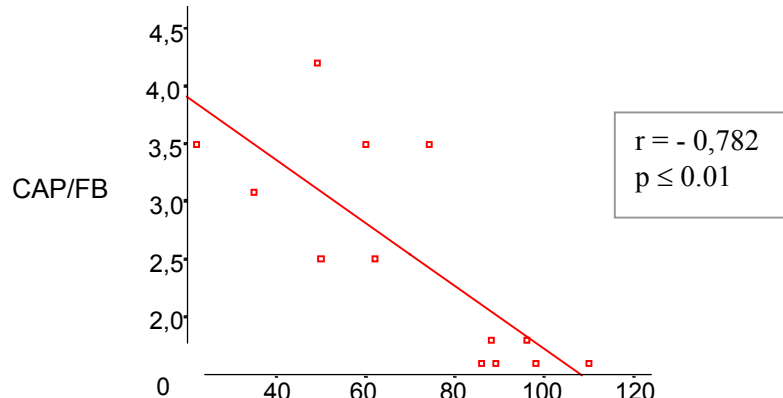


Actividad enzimática con función pulmonar (exclusivamente pacientes con EPOC)



Densidad capilar con función pulmonar (Población total)

Figura 15



FEV₁ (%ref)

Figura 16

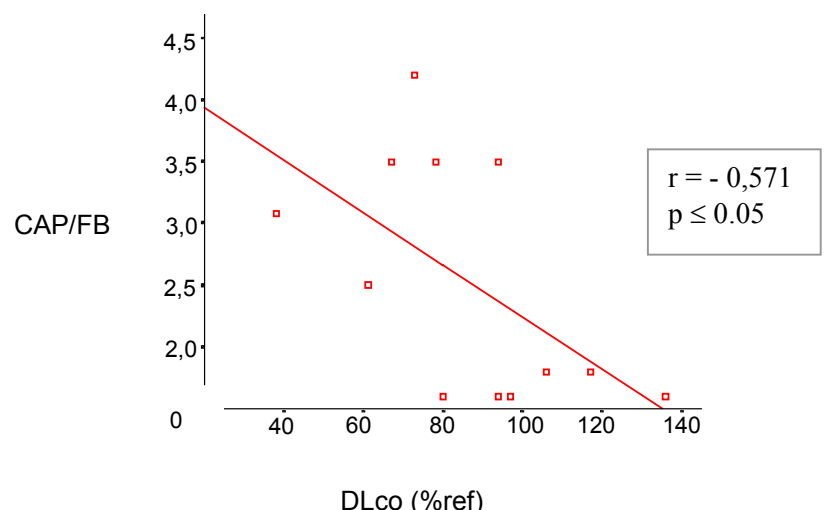


Figura 17

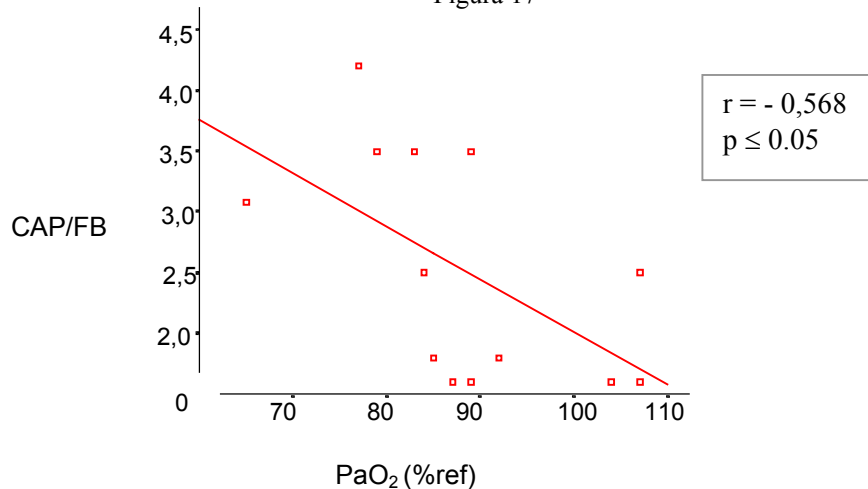
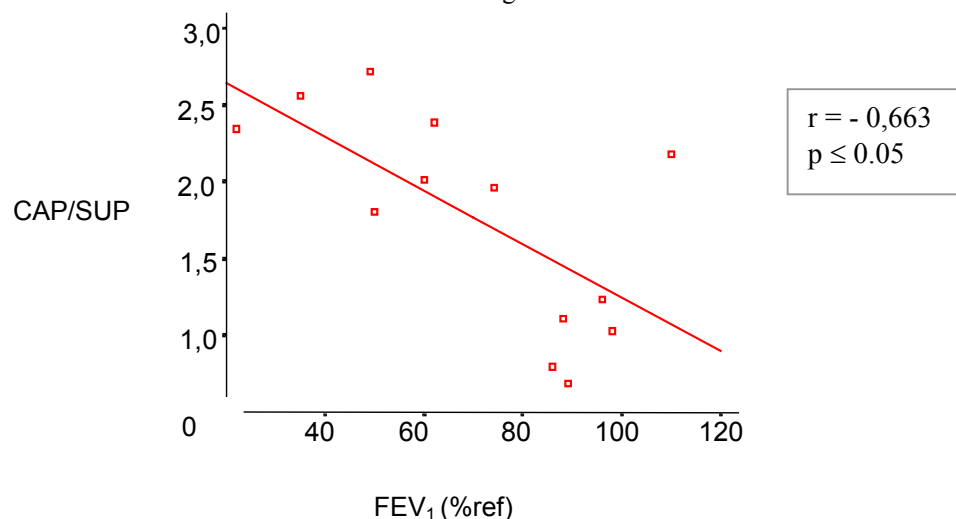
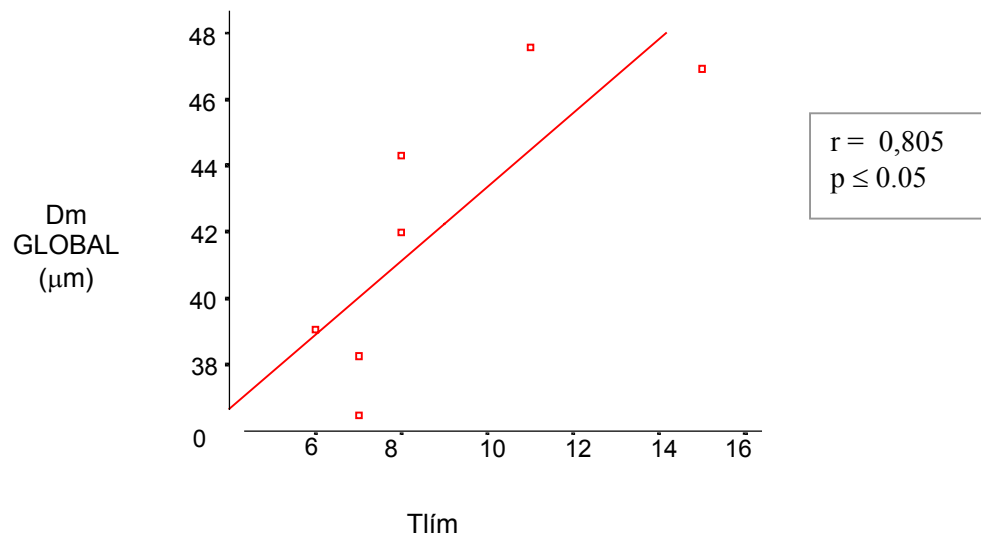


Figura 18



Estructura fibrilar con función muscular y capacidad de ejercicio (exclusivamente pacientes con EPOC)

Figura 19



Función muscular y capacidad de ejercicio con actividad enzimática (Población total)

Figura 20

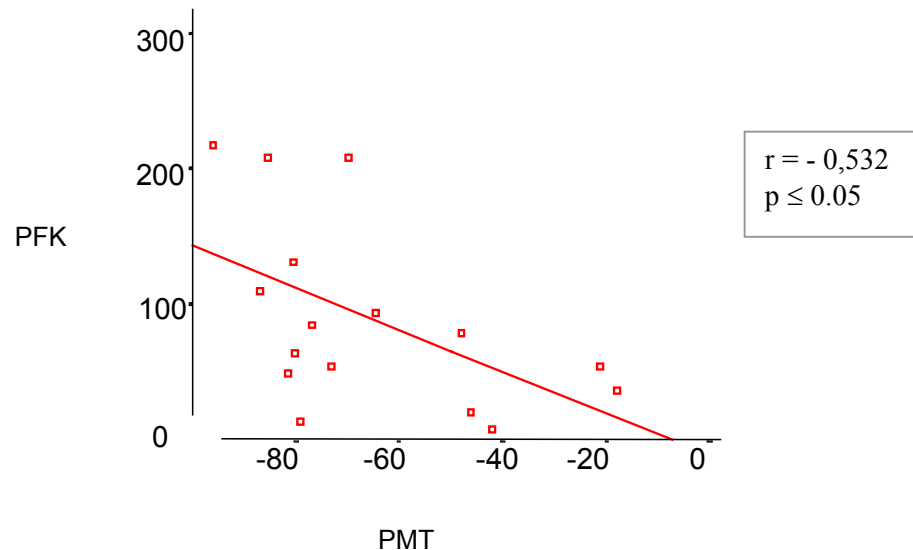
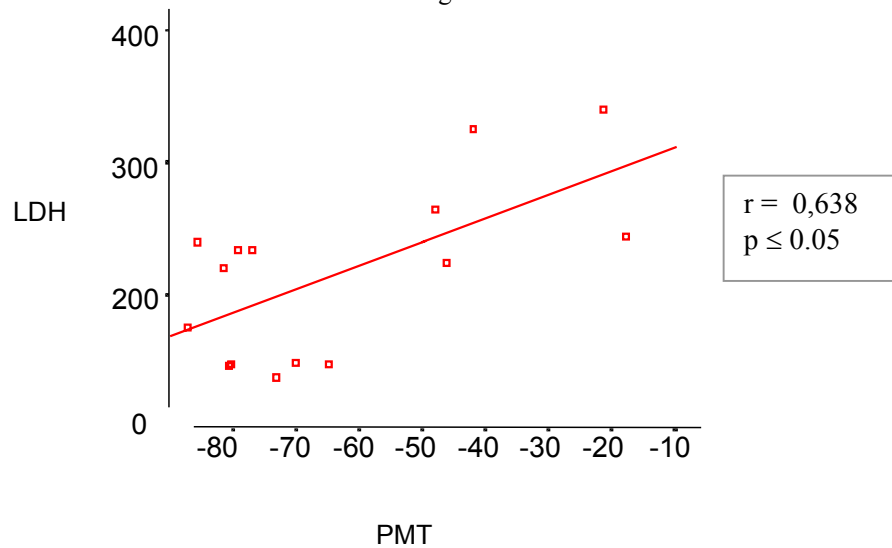
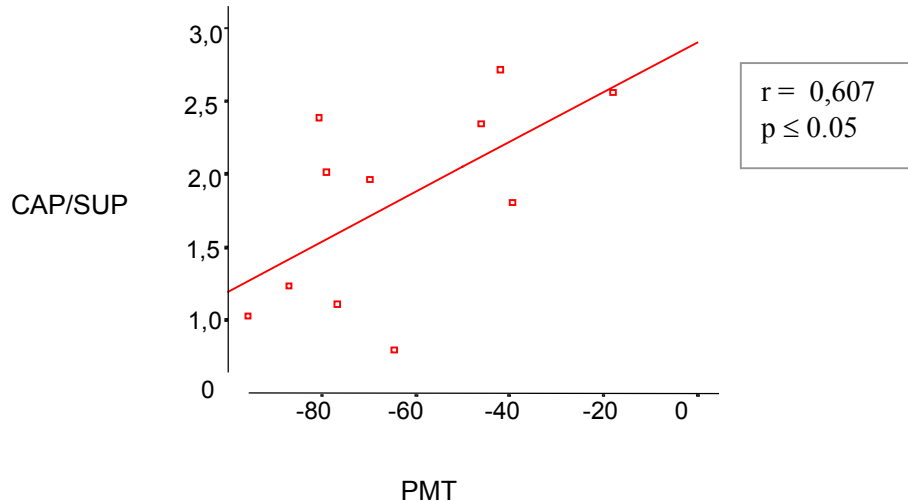


Figura 21



Densidad capilar con función muscular y capacidad de ejercicio (Población total)

Figura 22



Estructura fibrilar con metabolismo (actividad oxidativa) (Población total)

Figura 23

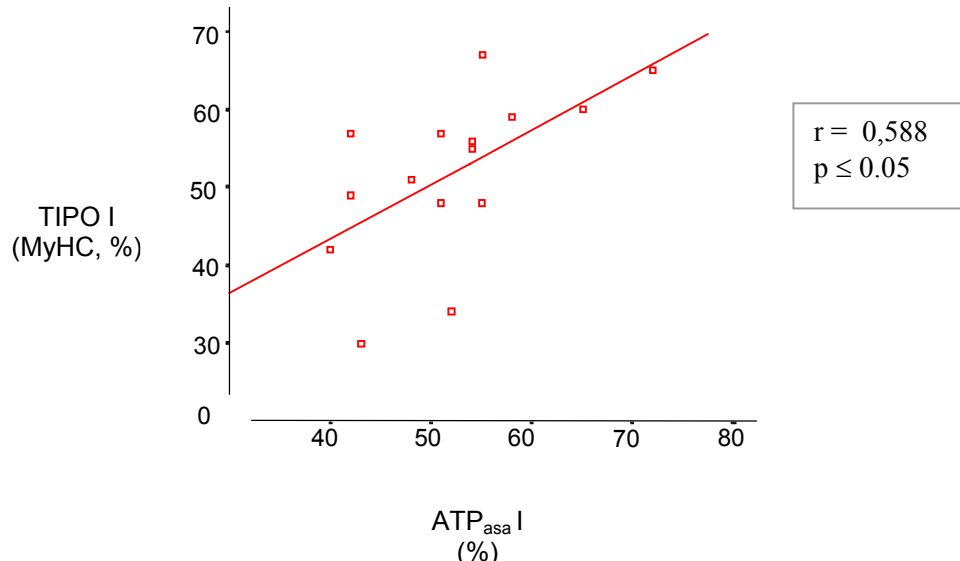
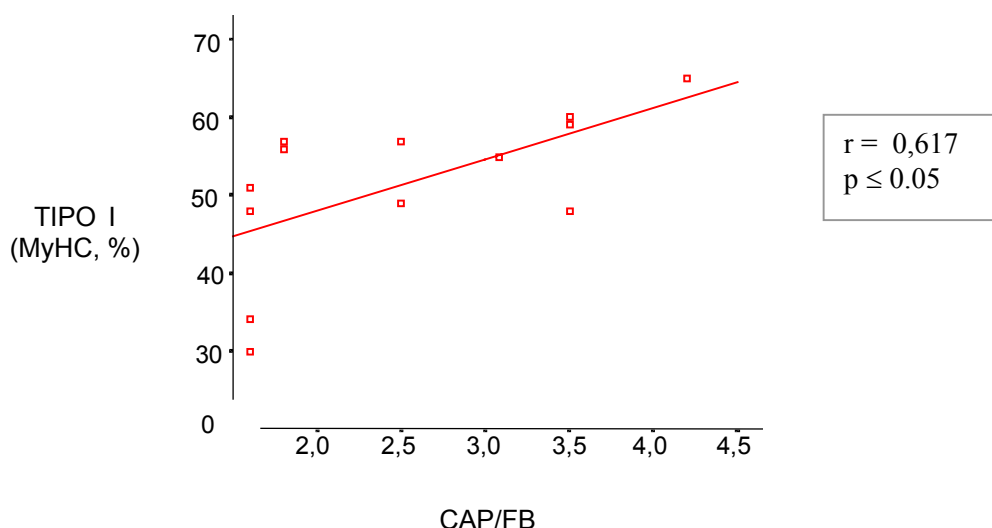


Figura 24



Estructura fibrilar con metabolismo (actividad oxidativa) (exclusivamente en pacientes con EPOC)

Figura 25

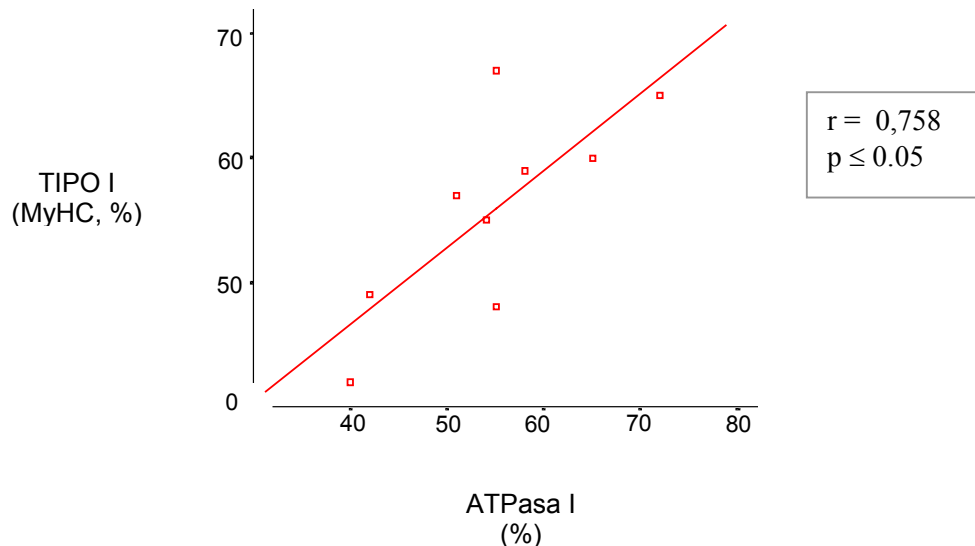
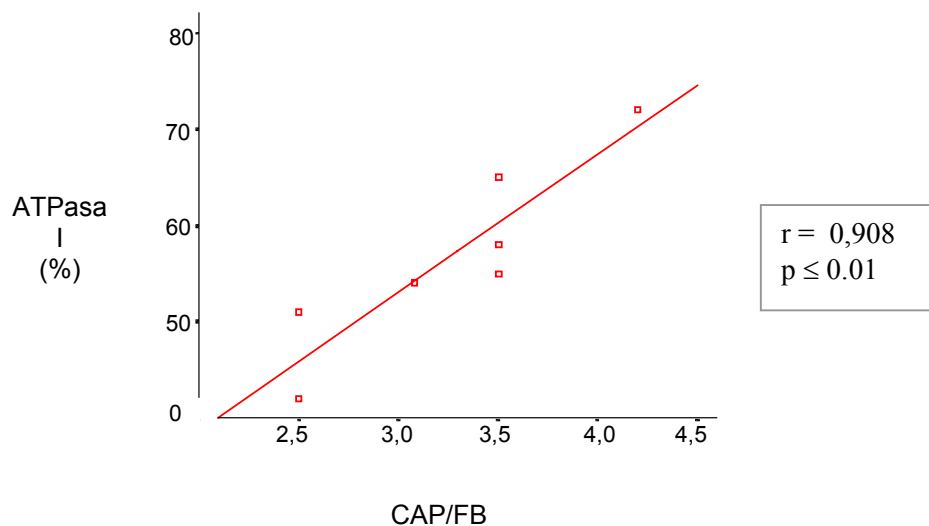
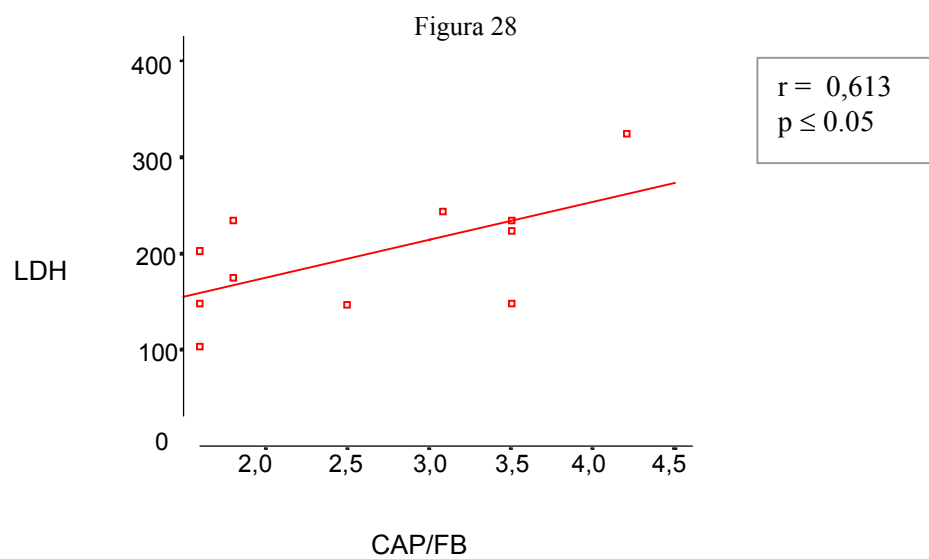
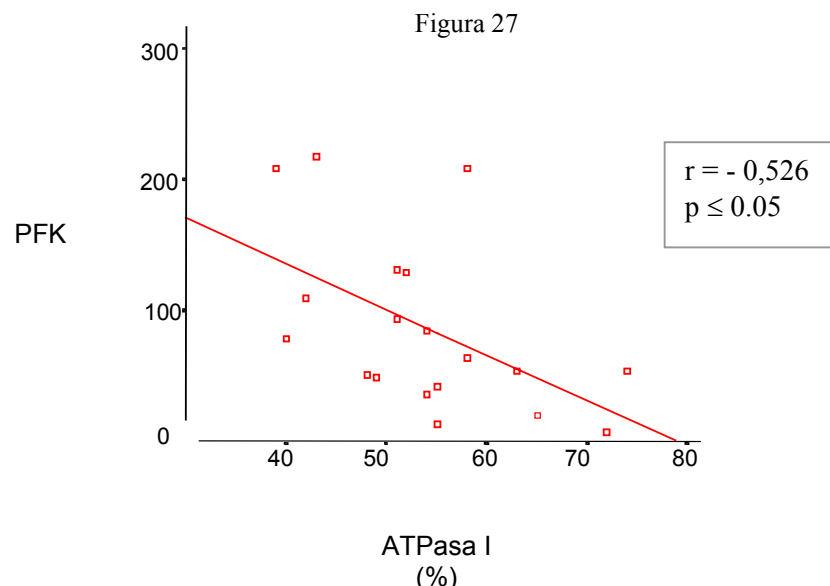


Figura 26



Estructura fibrilar con metabolismo (actividad glicolítica) (Población total)



Estructura fibrilar con metabolismo (almacenamiento energético) (Población total)

Figura 29

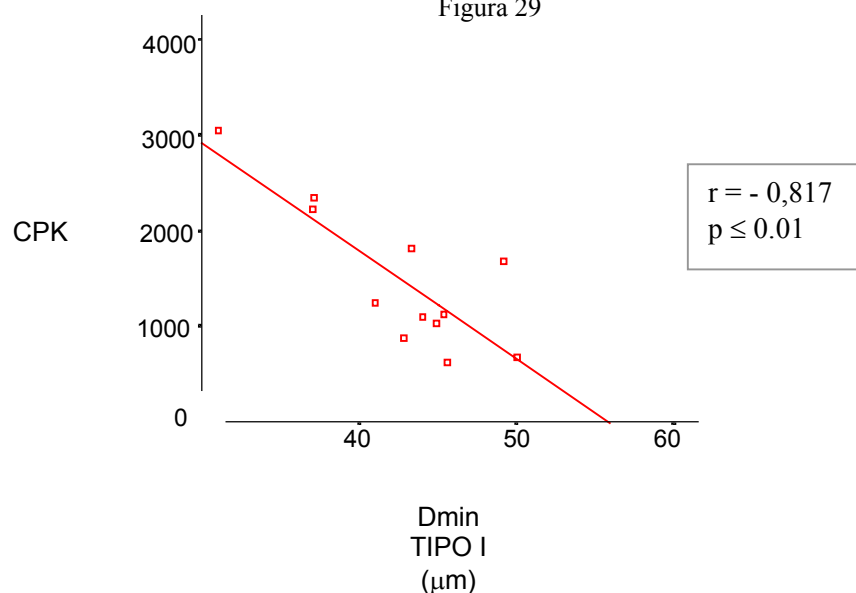
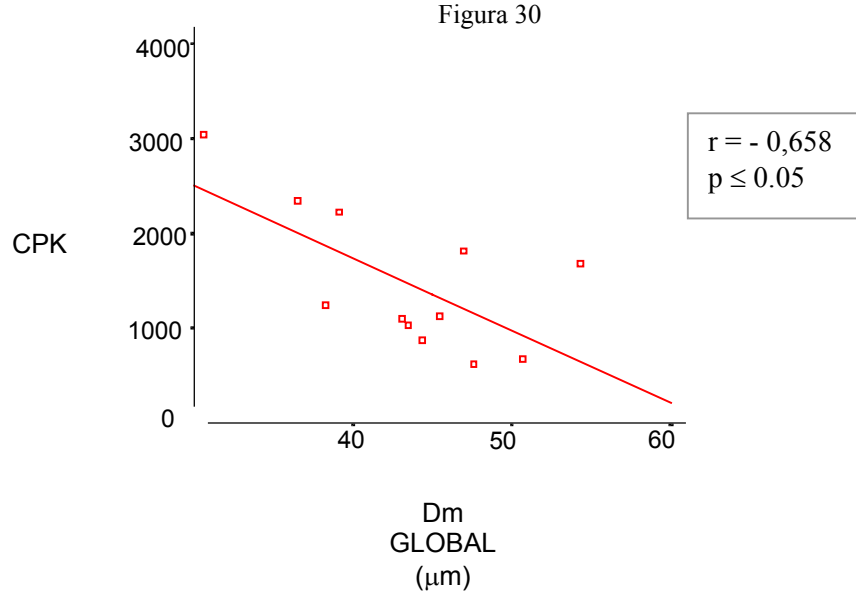


Figura 30



INTERCOSTAL EXTERNO

Estructura fibrilar con función pulmonar (población total)

Figura 31

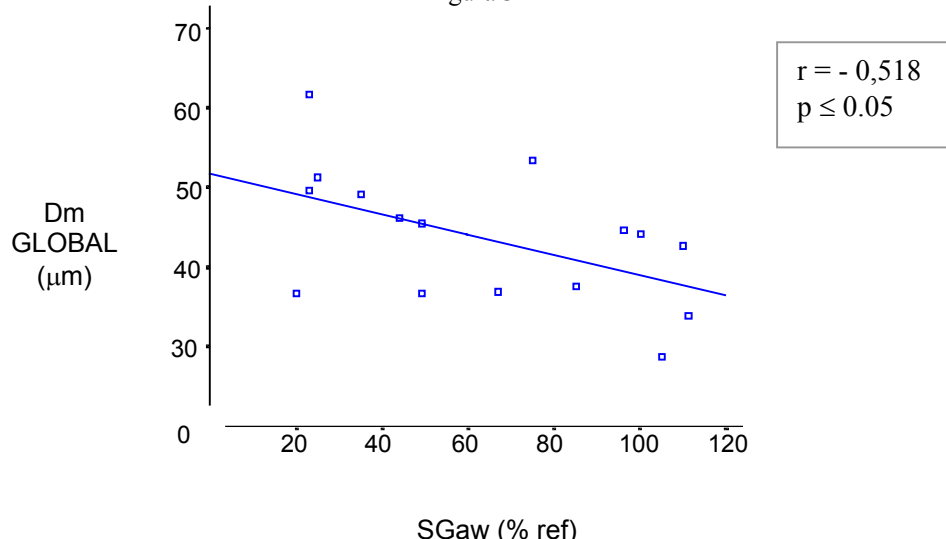
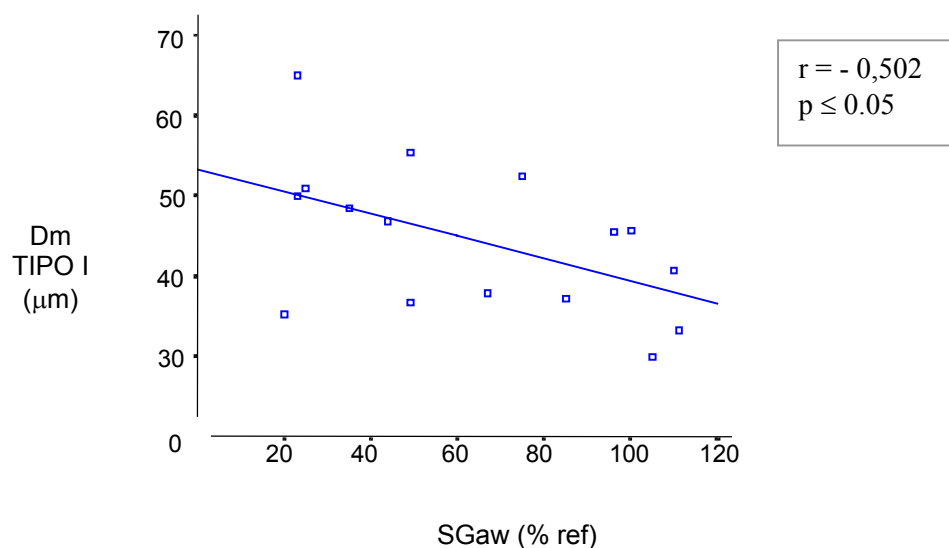


Figura 32



*Actividad enzimática con función pulmonar (**población total**)*

Figura 33

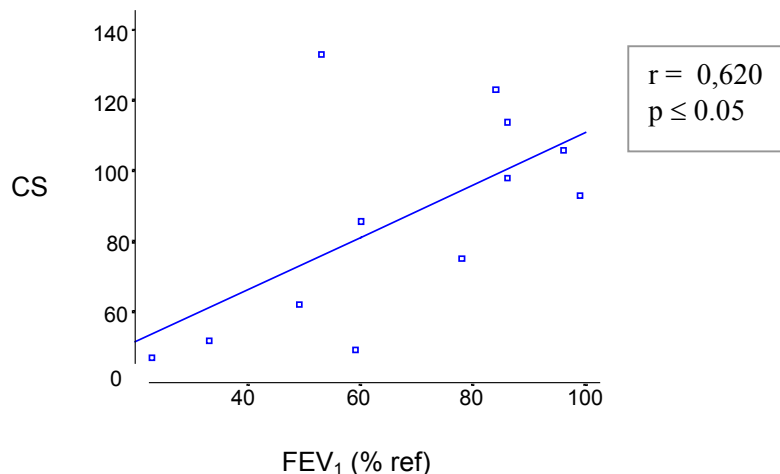
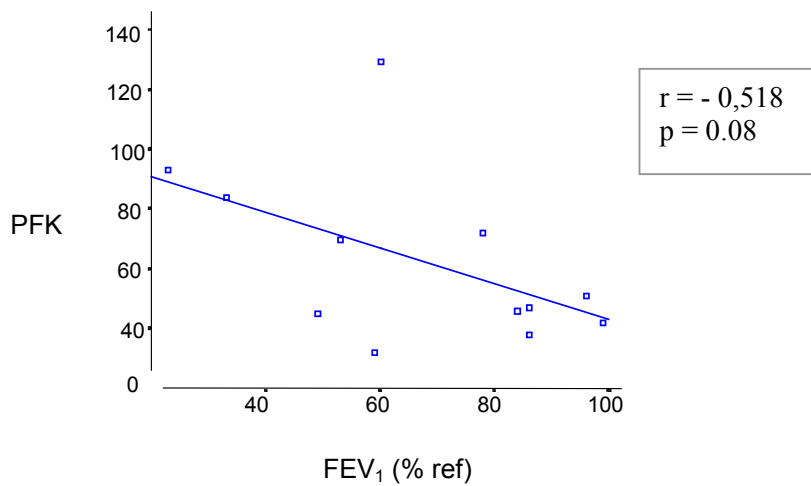


Figura 34



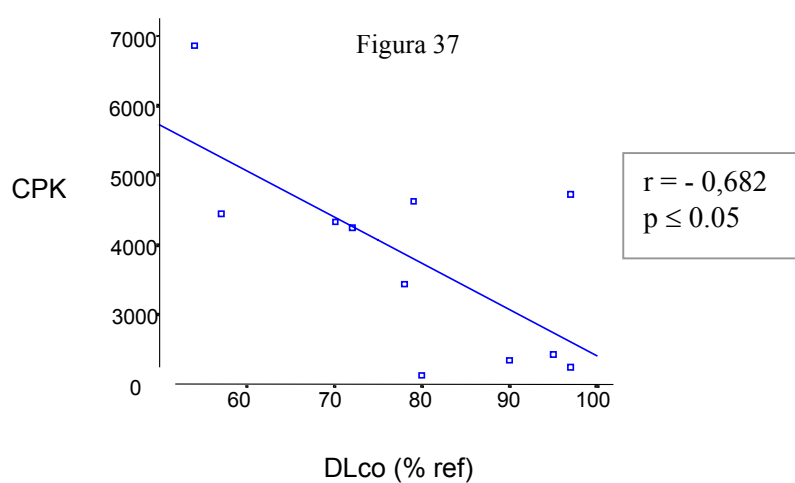
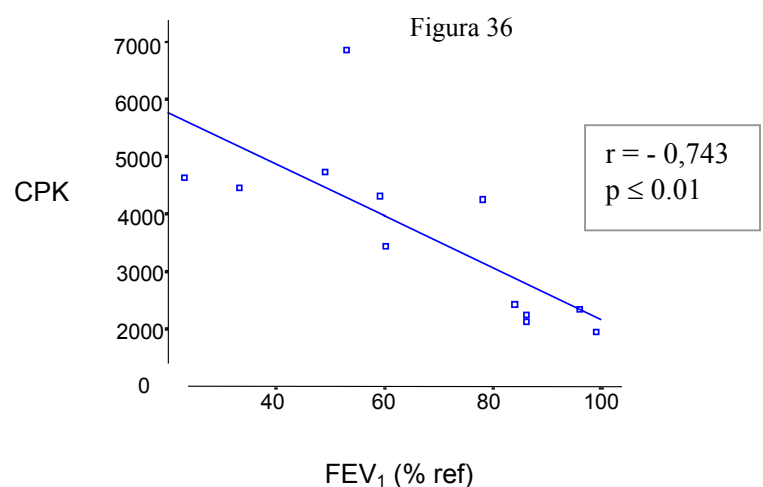
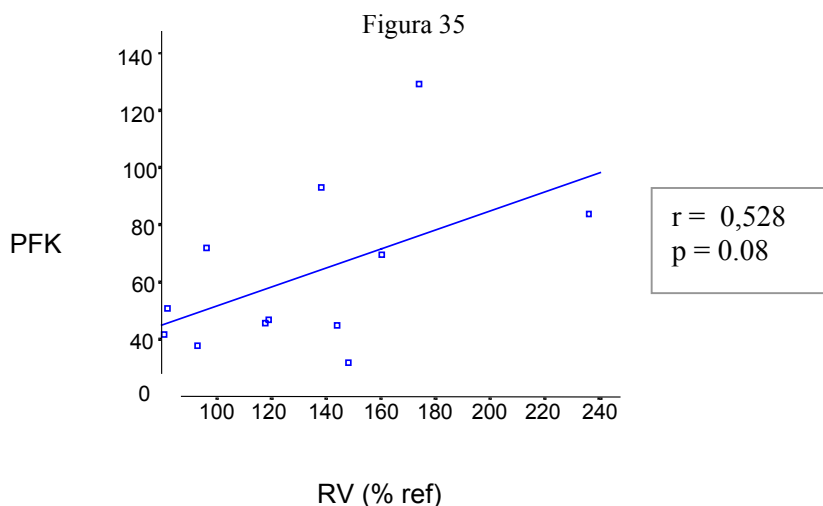
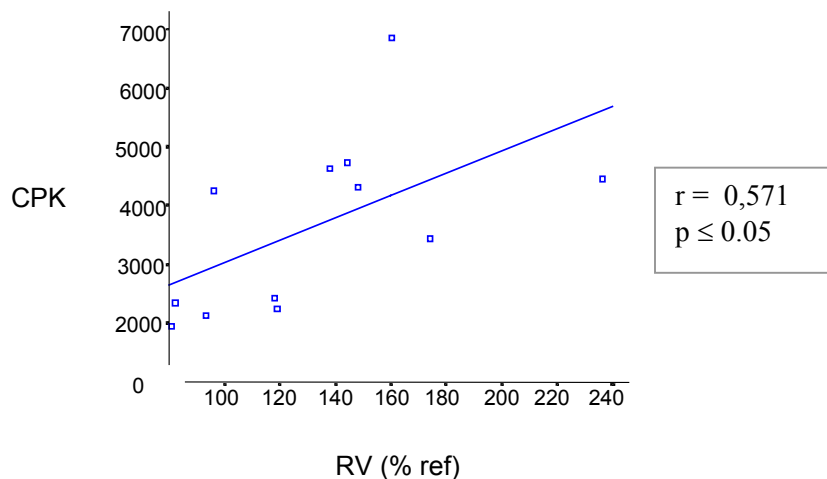


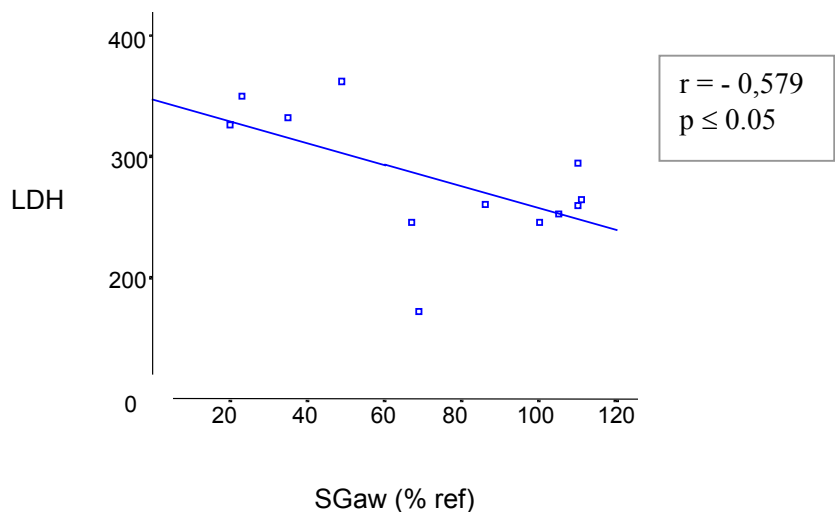
Figura 38



RV (% ref)

$r = 0,571$
 $p \leq 0,05$

Figura 39



SGaw (% ref)

$r = -0,579$
 $p \leq 0,05$

Figura 40

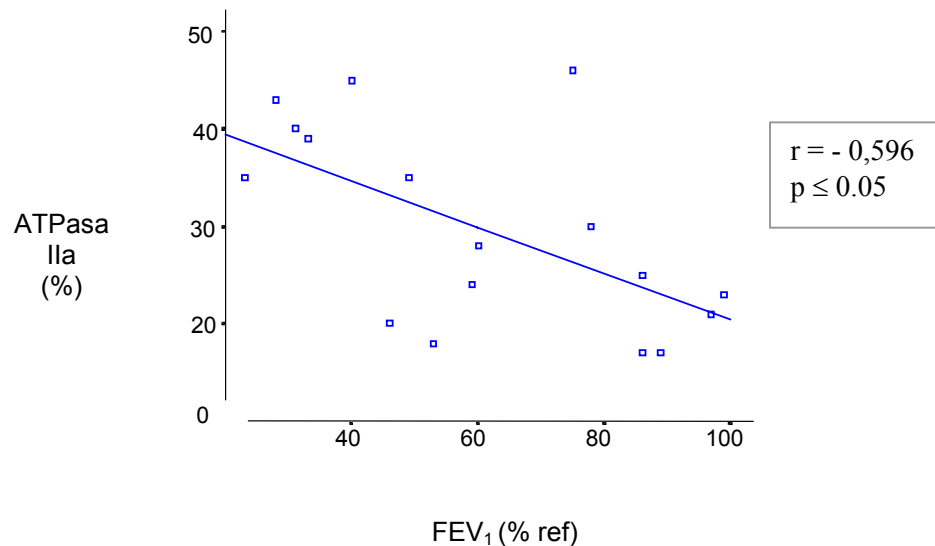
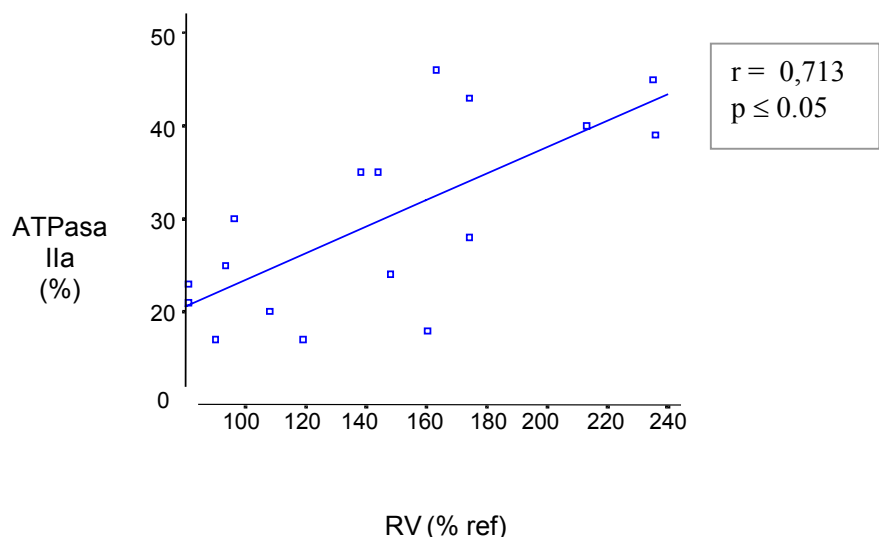
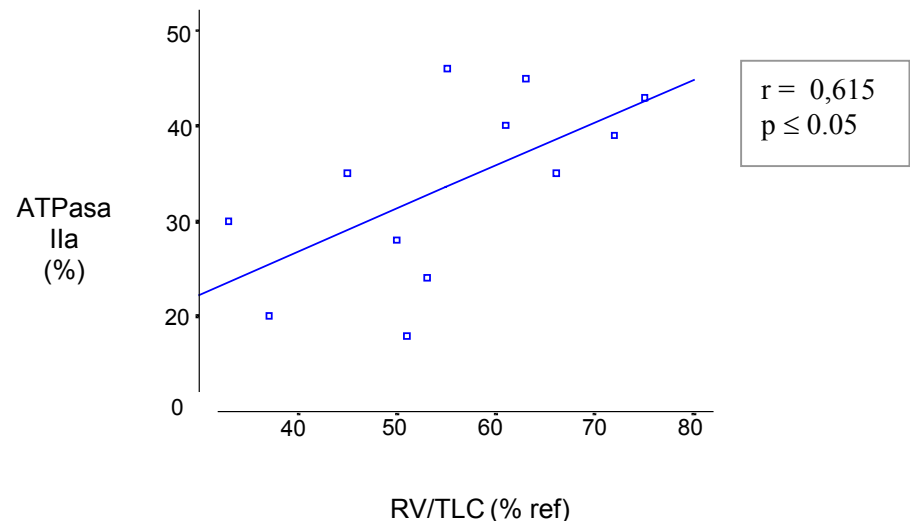


Figura 41



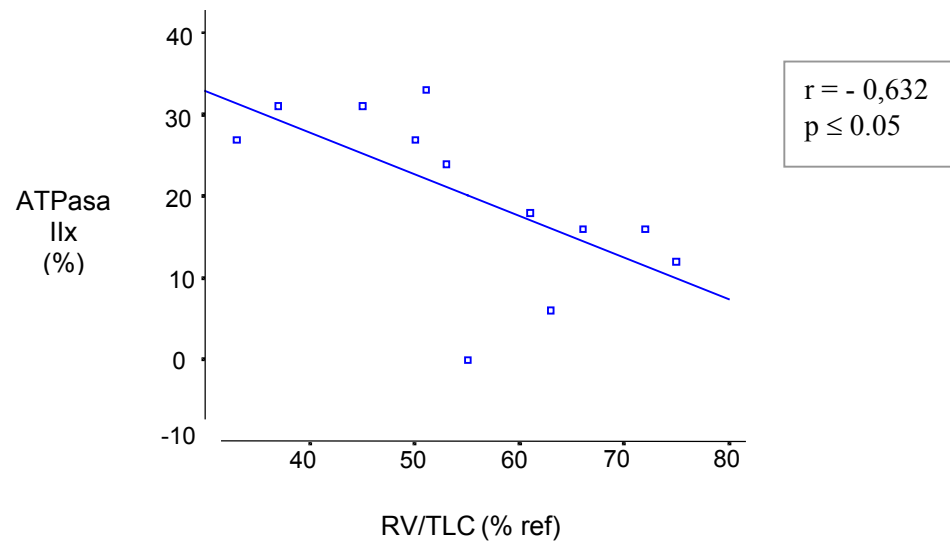
Actividad enzimática con función pulmonar (exclusivamente pacientes con EPOC)

Figura 42



RV/TLC (% ref)

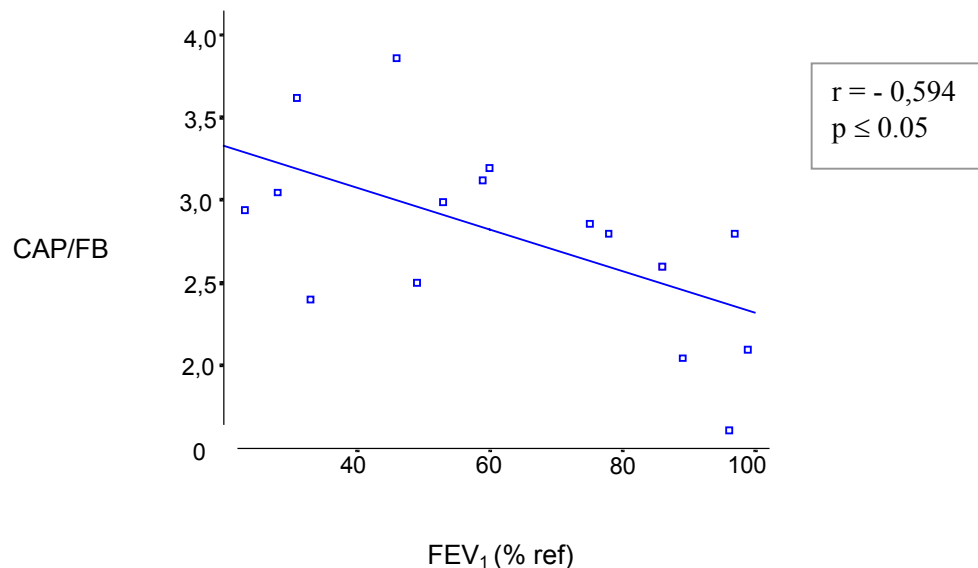
Figura 43



RV/TLC (% ref)

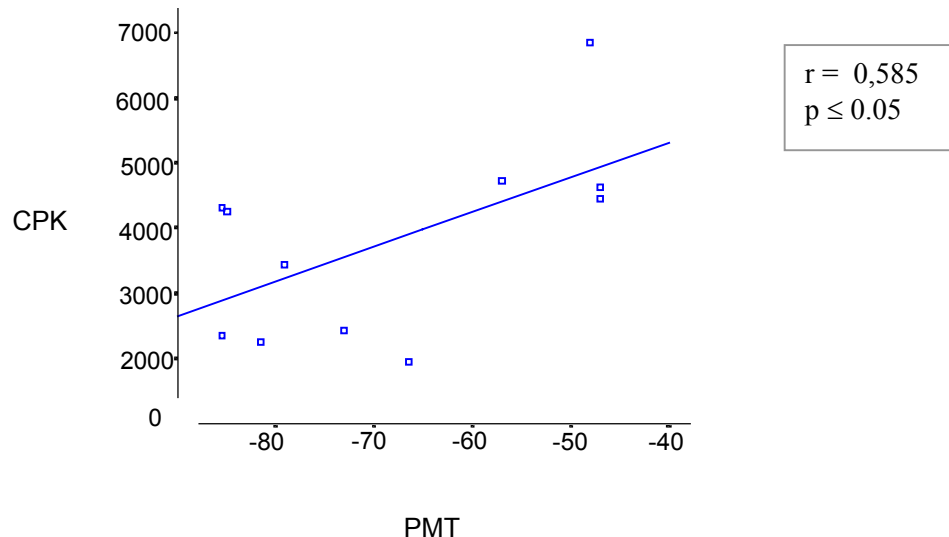
Densidad capilar con función pulmonar (población total)

Figura 44



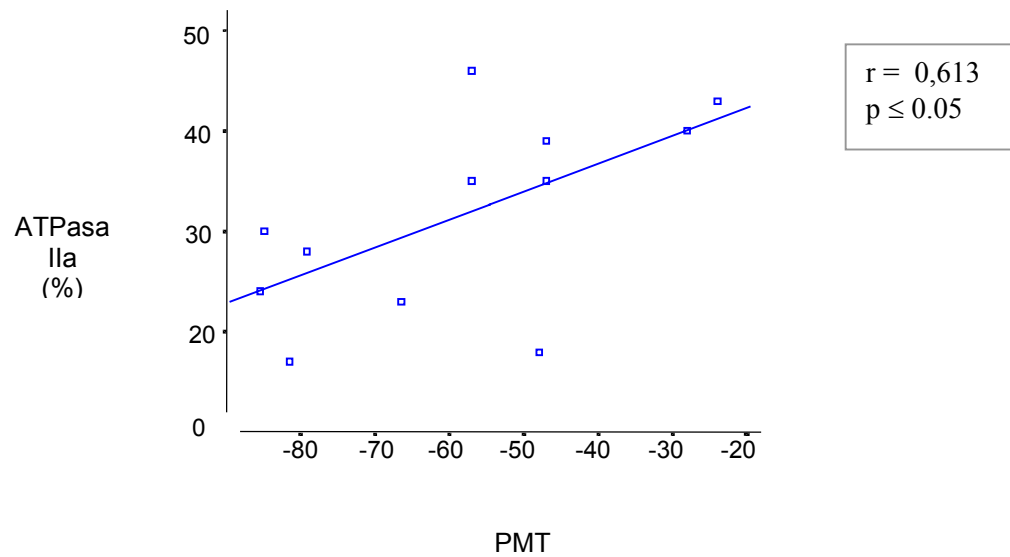
Función muscular y capacidad de ejercicio con actividad enzimática (Población total)

Figura 45



PMT

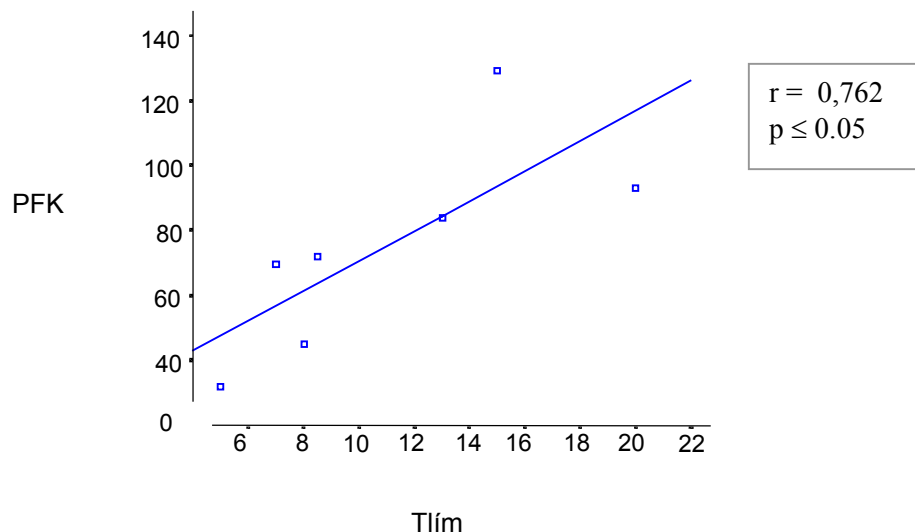
Figura 46



PMT

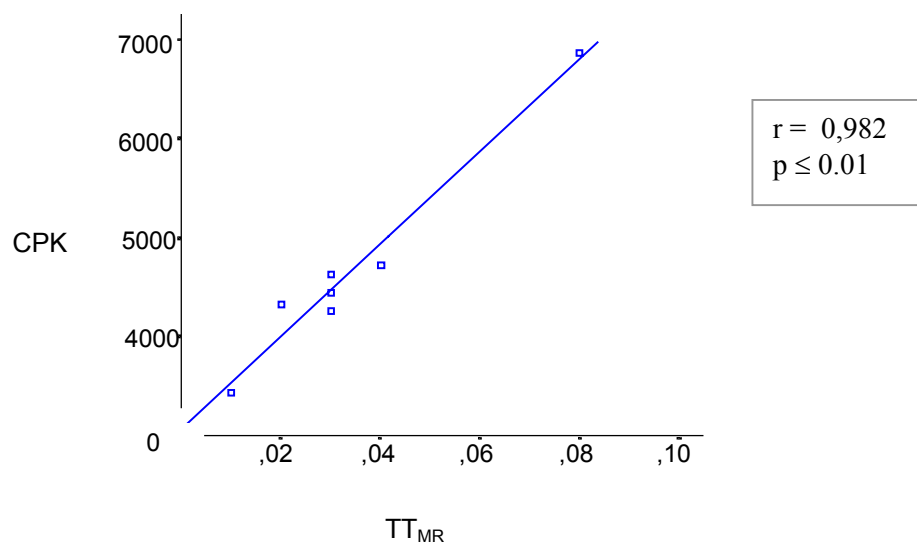
*Función muscular y capacidad de ejercicio con actividad enzimática
(exclusivamente pacientes con EPOC)*

Figura 47



Tlím

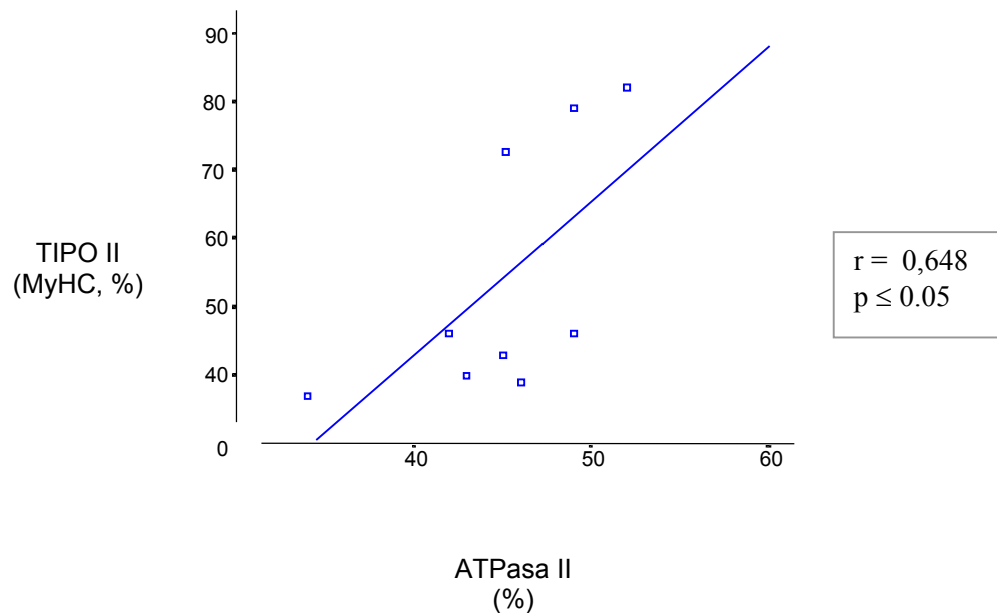
Figura 48



TT_{MR}

Estructura fibrilar con metabolismo (actividad oxidativa) (exclusivamente pacientes con EPOC)

Figura 49



Estructura fibrilar con metabolismo (actividad glicolítica) (Población total)

Figura 50

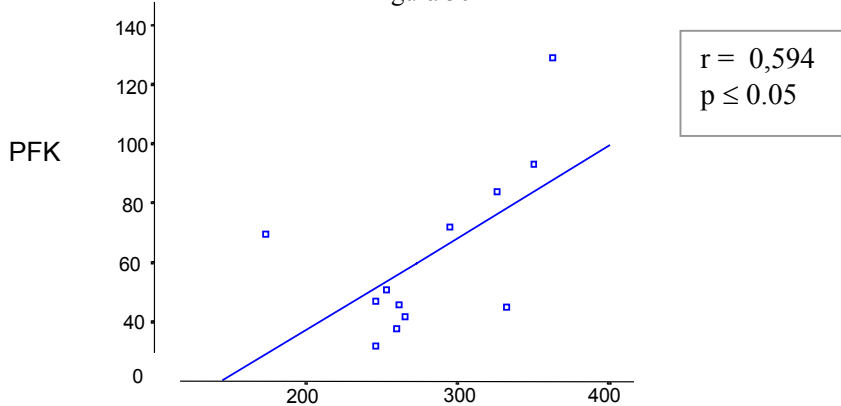


Figura 51

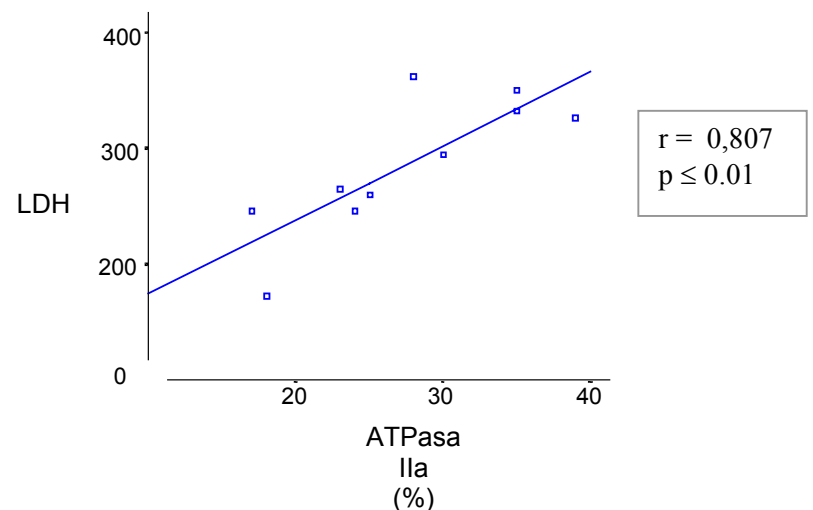
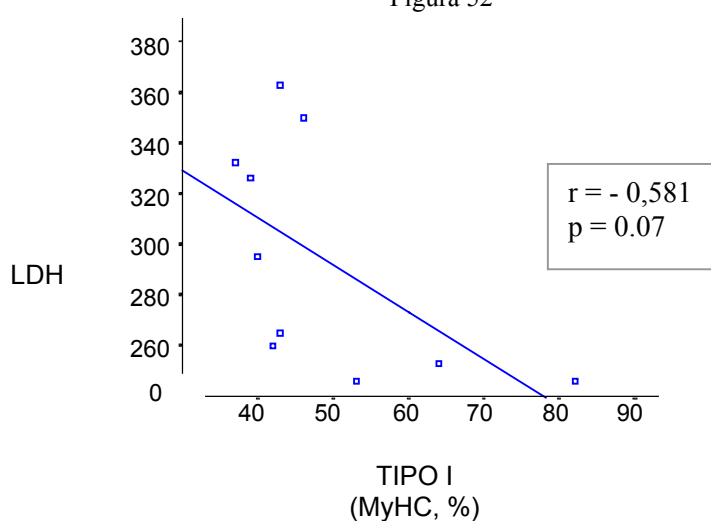
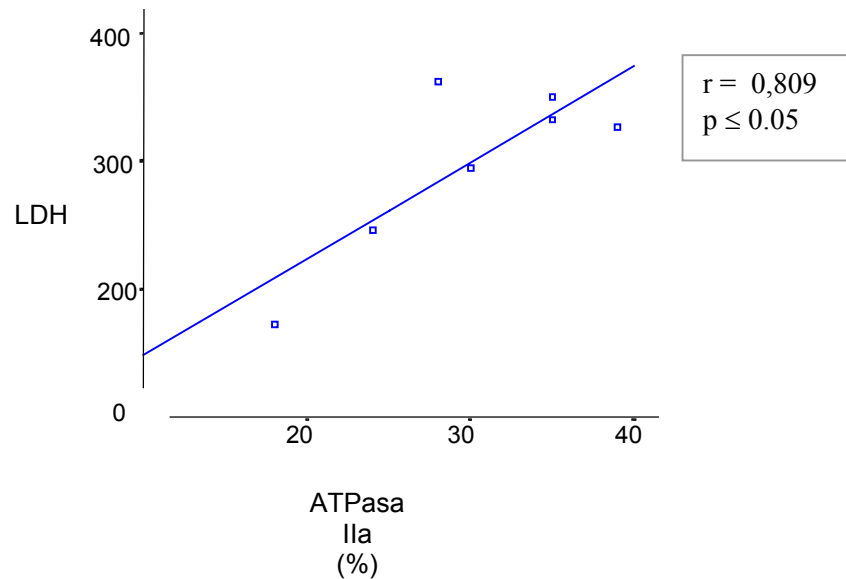


Figura 52



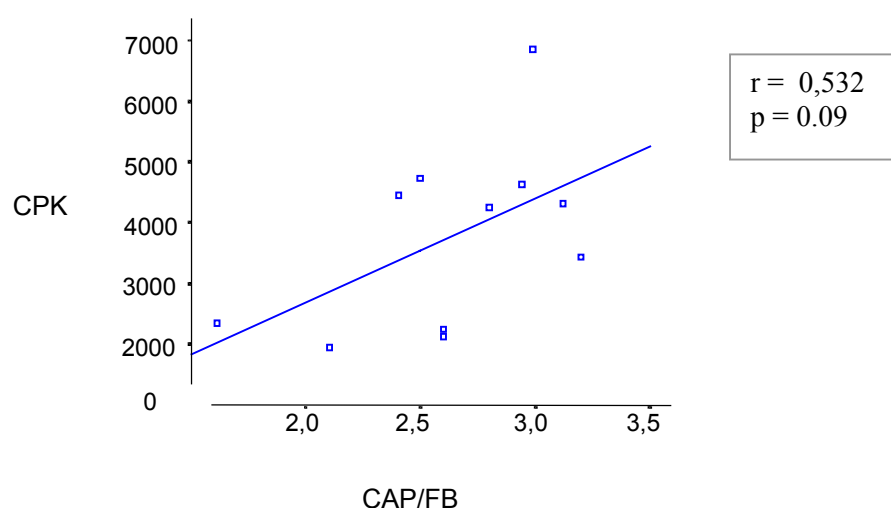
Estructura fibrilar con metabolismo (actividad glicolítica) (exclusivamente pacientes con EPOC)

Figura 53



Estructura fibrilar con metabolismo (almacenamiento energético) (Población total)

Figura 54



DELTOIDES

Estructura fibrilar con función pulmonar (población total)

Figura 55

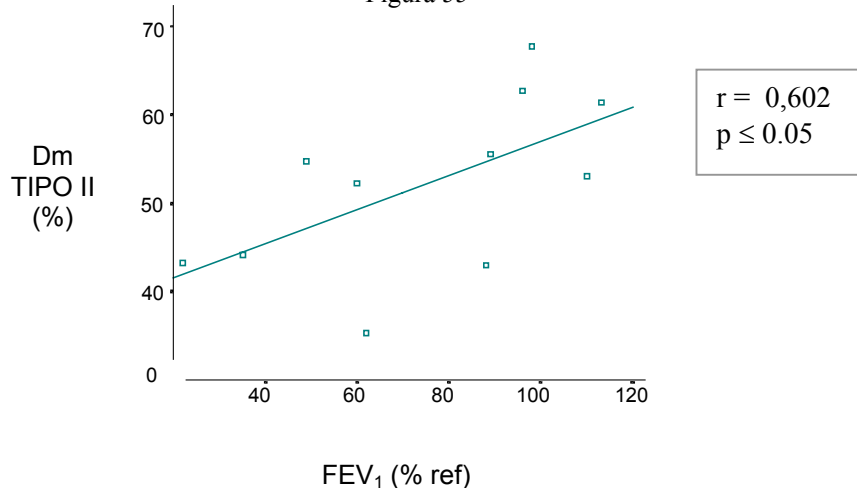


Figura 56

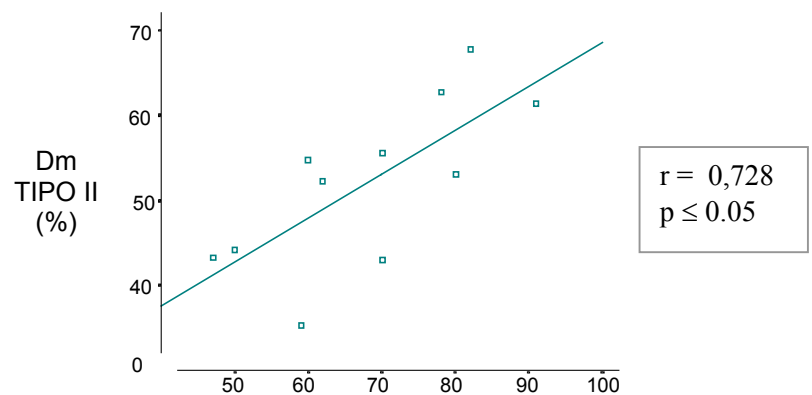
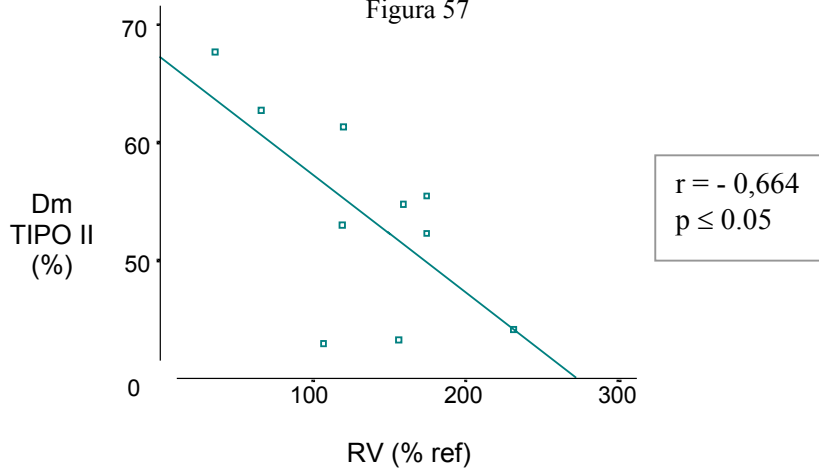
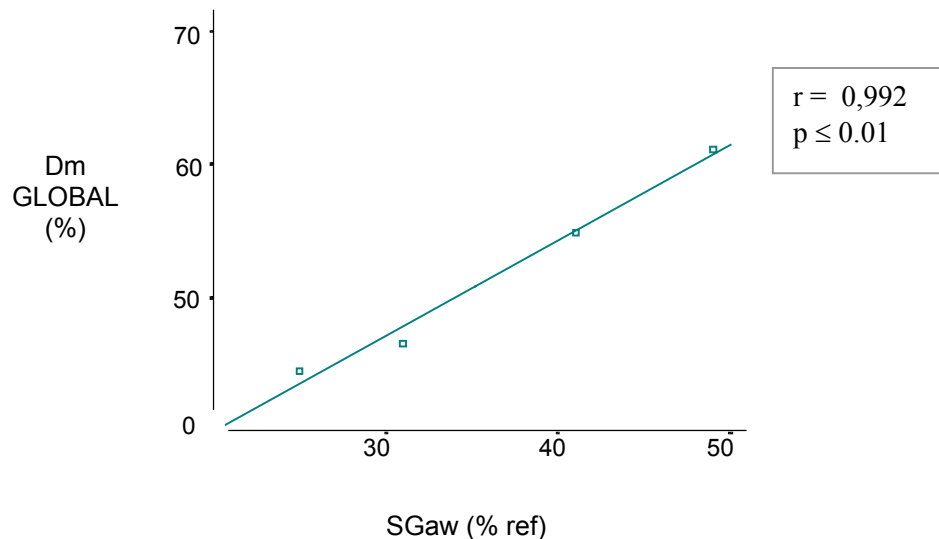


Figura 57



Estructura fibrilar con función pulmonar (exclusivamente pacientes con EPOC)

Figura 58



Actividad enzimática con función pulmonar (Población total)

Figura 59

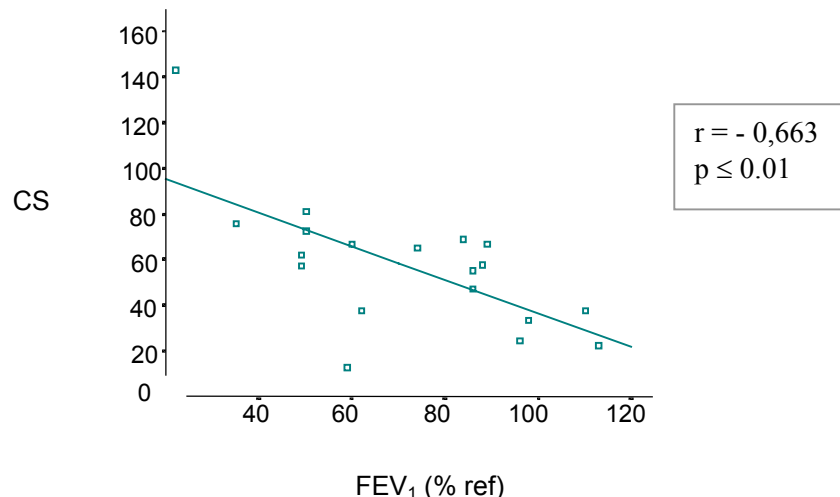


Figura 60

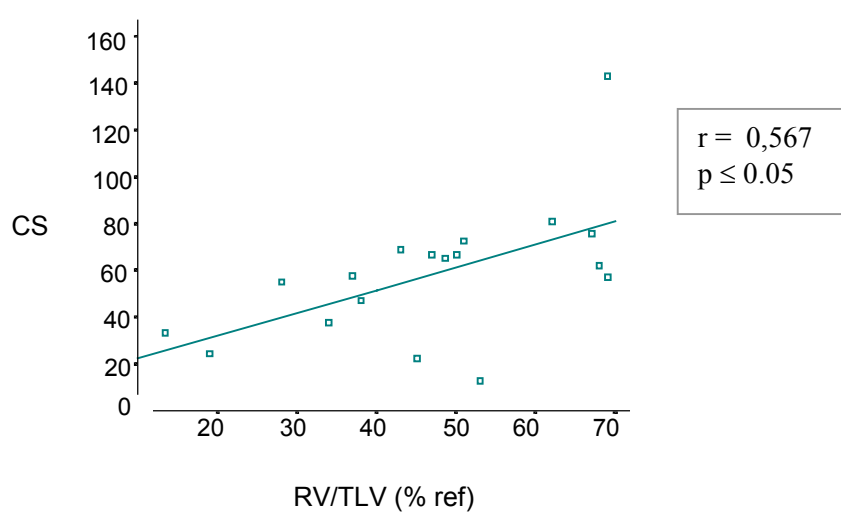


Figura 61

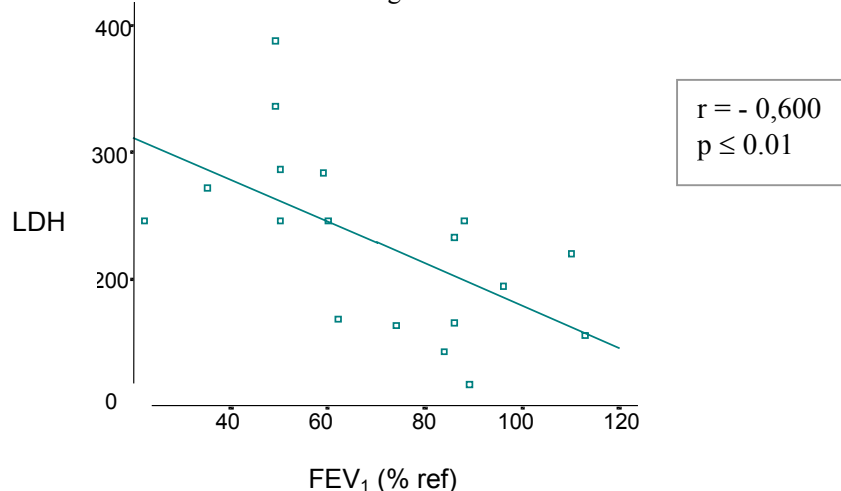


Figura 62

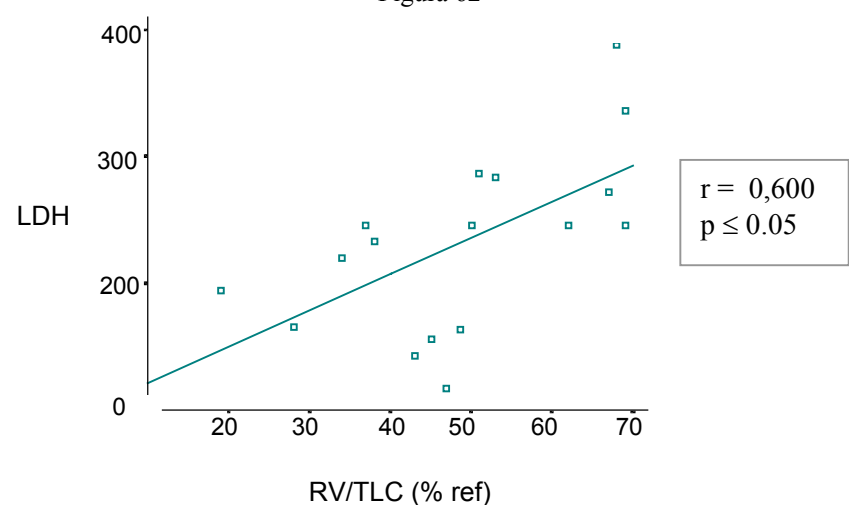
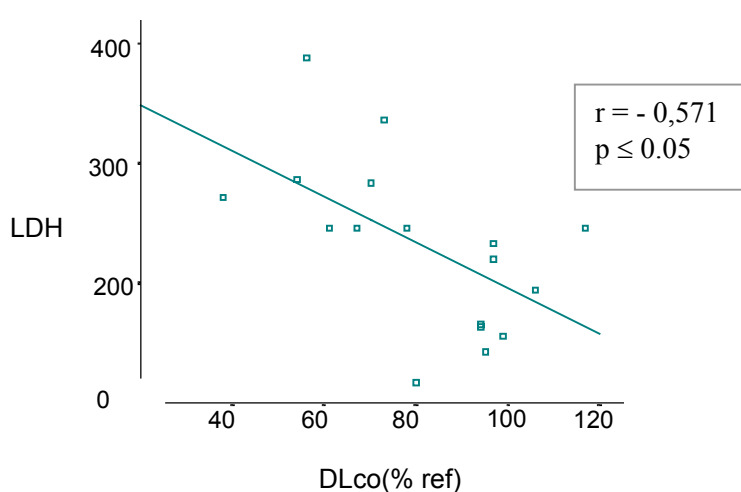


Figura 63



Actividad enzimática con función pulmonar (exclusivamente pacientes con EPOC)

Figura 64

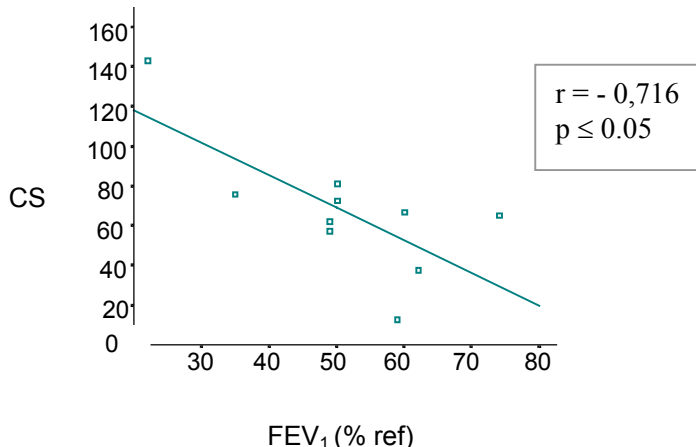


Figura 65

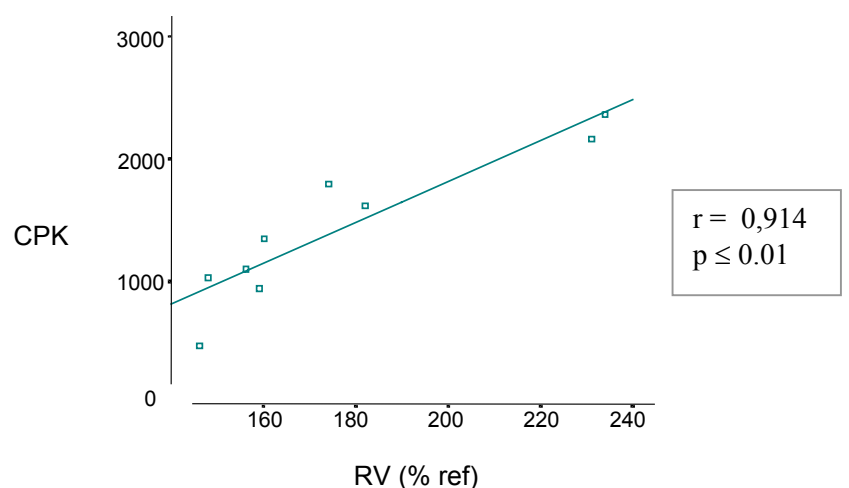
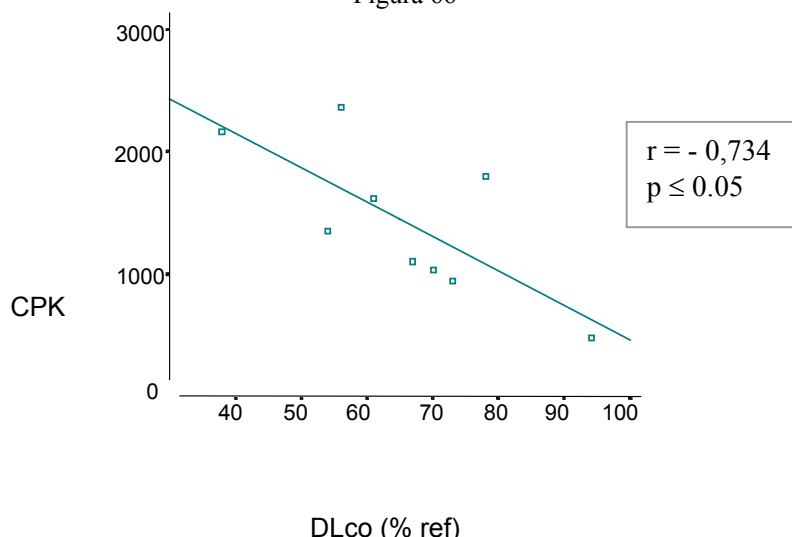
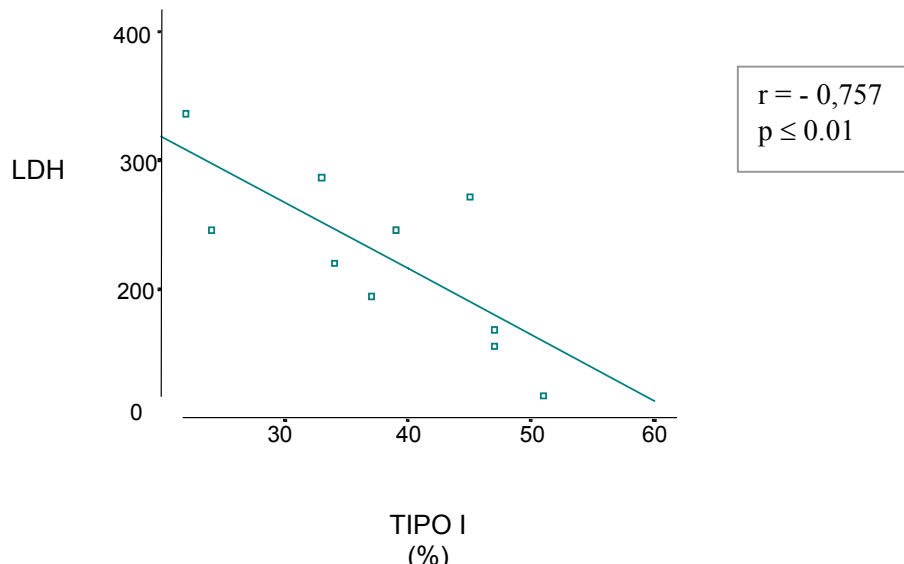


Figura 66



Estructura fibrilar con metabolismo (actividad oxidativa) (Población total)

Figura 67



Estructura fibrilar con metabolismo (actividad oxidativa) (exclusivamente pacientes con EPOC)

Figura 68

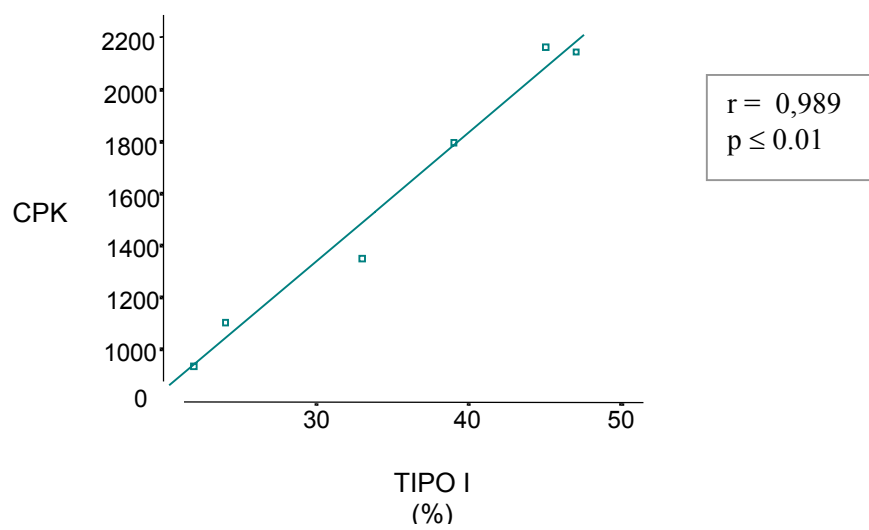


TABLA 1. Datos generales, antropométricos y nutricionales

Paciente	Edad (años)	Peso (Kg)	Talla (cm)	BMI (Kg/m ²)	Hb (g/dl)	Proteínas (g/dl)	Albúmina (g/dl)	Alb/Glob	Colesterol (g/dl)	TP (%)
1	70	79	166	28,67	15,9	7,5	4,5	1,5	194	94
2	34	63	170	21,80	10,5	5,4	3,6	2,0	128	100
3	66	70	166	25,40	13,4	7,0	4,3	1,6	234	99
4	45	74	171	25,31	14,8	7,4	4,3	1,4	183	87
5	52	87	178	27,46	14,7	7,0	4,8	2,2	248	88
6	39	110	186	31,80	12,5	6,8	4,1	1,5	137	94
7	64	63	168	22,32	12,4	6,9	3,8	1,2	192	79
8	69	71	182	21,43	12,4	6,6	3,9	1,4	150	82
9	59	67	167	24,02	13,9	6,1	3,5	1,4	116	83
10	67	77	165	28,28	12,9	6,6	4,1	1,6	202	93
11	34	63	170	21,80	14,7	6,4	4,0	1,7	184	91
12	58	61	164	22,68	13,4	6,5	3,8	1,4	232	115
13	61	70	163	26,35	12,1	6,1	3,7	1,5	136	87
14	71	85	172	28,73	13,7	7,1	4,4	1,6	189	93

X	56	74	171	25,43	13,4	6,7	4,1	1,6	180	92
±SD	13	13	7	3,2	1,4	0,6	0,4	0,3	42	9

15	55	80	173	26,73	15,8	7,1	4,5	1,7	276	100
16	62	80	173	26,70	12,7	7,0	3,8	1,2	199	94
17	52	43	161	16,59	16,2	7,8	4,7	1,5	200	91
18	57	66	169	23,11	13,0	5,6	3,9	1,5	151	94
19	40	50	177	15,96	12,2	6,2	3,9	1,7	131	81
20	53	75	163	28,23	15,1	6,9	3,9	1,3	236	111
21	74	77	179	24,03	12,8	6,8	4,0	1,5	180	101
22	63	44	167	15,78	14,5	6,8	4,3	1,7	199	113
23	67	60	165	22,04	14,1	6,1	3,5	1,3	200	98
24	78	63	171	21,55	15,2	6,8	3,8	1,3	129	82
25	69	68	170	23,53	13,1	6,0	3,5	1,3	142	87
26	58	74	176	23,89	14,8	7,1	4,3	1,5	262	97
27	47	77	170	26,64	13,7	6,6	4,4	2,0	202	92
28	59	81	167	29,04	14,0	6,1	4,1	2,1	179	97
29	58	47	165	17,26	14,8	6,1	3,5	1,9	170	108
30	62	76	161	29,32	16,0	7,0	4,5	1,8	194	98
31	47	63	166	22,86	15,6	6,5	4,2	1,8	247	114
32	70	61	168	21,61	14,1	6,4	4,1	1,8	179	96
33	71	62	158	24,84	15,1	6,9	4,5	1,9	238	107
34	71	88	171	30,09	14,9	6,6	4,2	1,8	225	103

X	61	67	169	23,49	14,4	6,6	4,1	1,6	197	98
±SD	10	13	6	4,5	1,2	0,5	0,4	0,3	42	9

GLOBAL X	59	70	169	24,29	14,0	6,6	4,1	1,6	190	96
±SD	11	14	6	4,1	1,3	0,5	0,4	0,3	42	10

Abreviaturas: **BMI**: índice de masa corporal; **alb/glob**: cociente albúmina-globulina; **Hb**: hemoglobina; **TP**: tasa de protombina. **ND**: no disponible.

TABLA 2. Valores de función pulmonar

C
O
N
T
R
O
L
E

Paciente	FEV ₁ (%ref)	FVC (%ref)	FEV ₁ /FVC (%)	TLC (%ref)	RV (%ref)	RV/TLC (%)	Sgaw (%ref)	DL _{CO} (%ref)	K _{CO} (%ref)	PaO ₂ (mm Hg)	PaCO ₂ (mm Hg)
1	113	94	91	114	120	45	125	99	91	86	35,8
2	110	97	80	115	119	34	134	97	93	89	38,4
3	99	97	75	101	81	29	111	ND	ND	82	43,1
4	98	91	82	81	36	14	129	136	116	107	38,4
5	97	92	79	93	81	80	96	97	88	102	43,0
6	96	95	78	91	66	19	131	106	88	92	36,4
7	96	98	70	95	82	29	105	90	81	88	38,7
8	89	91	70	133	174	47	119	80	98	87	32,4
9	89	92	71	98	90	33	85	80	81	88	44,0
10	88	93	70	114	107	37	82	117	86	85	30,9
11	86	80	80	85	88	28	120	94	108	104	39,8
12	86	92	70	111	119	38	100	97	86	85	33,1
13	86	84	74	87	93	41	110	80	81	83	36,5
14	84	86	70	113	119	43	86	95	81	85	40,1

X	94	92	76	102	98	37	110	98	91	90	37,9
±SD	9	5	6	15	32	16	18	16	11	8	4,0

E
P
O
C

15	78	84	69	96	96	33	110	72	72	100	35,9
16	75	75	69	106	163	55	75	89	72	94	33,1
17	74	92	71	105	146	49	53	94	90	89	35,1
18	74	77	72	107	149	48	65	83	129	92	36,1
19	62	81	59	ND	ND	ND	ND	ND	ND	107	37,9
20	60	73	62	118	174	50	49	78	77	83	39,3
21	59	70	59	106	148	53	67	70	85	76	39,8
22	50	80	49	115	160	51	69	54	58	92	35,7
23	50	66	55	115	182	62	42	61	72	84	35,3
24	49	65	53	151	234	68	34	56	58	91	32,9
25	49	58	60	90	159	69	41	73	95	77	35,3
26	49	73	52	106	144	45	35	97	101	75	37,4
27	46	65	54	93	108	37	44	94	102	88	44,8
28	40	60	49	127	235	63	25	102	99	68	43,3
29	35	53	50	125	231	67	31	38	51	65	42,4
30	33	52	47	127	236	72	20	57	63	67	38,4
31	31	48	49	111	213	61	23	48	65	73	36,0
32	28	38	52	92	174	75	49	73	83	74	46,3
33	23	40	41	94	138	66	23	79	100	76	38,4
34	22	33	47	94	156	69	25	67	79	79	39,4

X	49	64	56	109	171	58	46	73	82	83	38,1
±SD	18	16	9	16	42	12	23	18	20	11	3,7

GLOBAL X	68	75	64	106	140	49	73	83	85	86	38,0
±SD	27	19	13	15	52	17	38	21	17	11	3,8

Abreviaturas: FEV₁: volumen espiratorio forzado en el primer segundo; FVC: capacidad vital forzada; FEV₁/FVC: cociente espirométrico porcentual; RV: volumen residual; TLC: capacidad pulmonar total; SGaw: conductancia específica de la vía aérea; DL_{CO}: difusión pulmonar del monóxido de carbono; K_{CO}: difusión del monóxido de carbono corregida por el volumen alveolar; PaO₂: presión parcial de oxígeno en sangre arterial; PaCO₂: presión parcial de dióxido de carbono en sangre arterial.

TABLA 3. Función de los músculos periféricos

C
O
N
T
R
O
L
E
S

Paciente	Fuerza mano dominante (dinas)	Fuerza mano no dominante (dinas)	Fuerza mano no dominante (%ref)
1	48	42	141
2	ND	ND	ND
3	ND	ND	ND
4	55	42	110
5	45	39	75
6	40	30	73
7	ND	ND	ND
8	25	21	60
9	ND	ND	ND
10	35	33	85
11	38	45	69
12	35	33	76
13	ND	ND	ND
14	38	32	112

X	40	35	89
±SD	9	8	26

E
P
O
C

15	42	32	69
16	ND	ND	ND
17	29	25	56
18	46	33	82
19	43	39	81
20	32	30	61
21	33	30	97
22	21	17	51
23	36	32	87
24	22	15	73
25	36	35	87
26	32	32	69
27	ND	ND	ND
28	30	27	58
29	30	27	65
30	39	27	66
31	40	19	38
32	32	23	68
33	30	20	81
34	38	33	112

X	34	28	72
±SD	7	7	18

GLOBAL X	36	30	78
±SD	8	8	22

TABLA 4. Presiones respiratorias a volumen corriente y en reposo

Paciente	PI,es (cm H ₂ O)	PI,gas (cm H ₂ O)	PI,di (cm H ₂ O)	PI,es_{peak} (cm H ₂ O)	PI,gas_{peak} (cm H ₂ O)	PI,di_{peak} (cm H ₂ O)
1	-1,2	2,5	3,7	-4,6	2,8	7,3
2	-6,9	4,9	11,7	-7,6	6,4	14,0
3	-8,6	3,0	11,6	-8,6	4,5	13,1
4	-5,2	1,3	6,5	-6,6	2,4	9,0
5	-3,6	3,1	6,7	-8,0	6,9	14,9
6	-5,9	9,2	15,1	-6,7	9,6	16,3
7	-6,3	2,2	8,5	-4,3	5,7	10,0
8	-2,4	4,6	7,0	-2,7	5,3	8,0
9	-5,0	5,3	10,3	-5,2	4,0	9,2
10	-4,2	ND	ND	-6,1	ND	ND
11	-8,0	ND	ND	-10,0	ND	ND
12	-3,0	6,5	9,5	-5,0	8,0	13,0
13	-4,6	6,2	10,8	-5,2	9,3	14,5
14	-6,9	1,9	8,9	-10,6	2,8	13,5

X	-5,1	4,2	9,2	-6,5	5,6	11,9
±SD	2,1	2,3	3,0	2,2	2,5	3,0

15	-5,0	10,0	15,0	-9,0	11,0	28,0
16	-4,7	6,2	10,9	-3,8	4,2	8,0
17	-5,8	3,8	9,5	-8,3	4,0	12,4
18	-5,1	5,4	10,6	-6,8	7,2	13,9
19	-3,8	3,7	7,4	-4,9	4,0	8,9
20	-2,3	4,4	6,7	-2,5	5,9	8,4
21	-4,1	9,4	13,5	-5,4	9,6	15,0
22	-9,2	1,8	11,0	-11,9	2,4	14,3
23	-1,8	ND	ND	-4,3	ND	ND
24	-10,5	4,3	14,8	-10,5	5,8	16,3
25	-2,6	2,0	4,6	-8,4	6,5	14,9
26	-9,0	4,0	13,0	-10,0	5,0	15,0
27	-4,2	1,2	5,4	-6,8	3,4	10,2
28	-8,0	4,0	12,0	-10,0	7,0	17,0
29	ND	ND	ND	ND	ND	ND
30	-7,0	12,0	19,0	-8,0	12,0	20,0
31	-13,0	6,0	19,0	-15,0	8,0	23,0
32	ND	ND	ND	ND	ND	ND
33	-10,0	9,0	19,0	-12,0	14,0	26,0
34	-6,9	1,0	7,9	-11,7	5,1	16,8

X	-6,3	5,2	11,7	-8,3	6,8	15,8
±SD	3,1	3,2	4,6	3,3	3,2	5,8

GLOBAL X	-5,8	4,8	10,7	-7,5	6,3	14,2
±SD	2,8	2,9	4,2	3,0	3,0	5,2

Abreviaturas: **PI,es**: presión esofágica media; **PI,gas**: presión gástrica media; **PI,di**: presión transdiafragmática media; **PI,es_{peak}**: presión esofágica en pico; **PI,gas_{peak}**: presión gástrica en pico; **PI,di_{peak}**: presión transdiafragmática en pico.

C
O
N
T
R
O
L
EE
P
O
C

TABLA 5. Fuerza máxima de los músculos respiratorios

Paciente	PI,m_{máx} (cm H ₂ O)	spPI,m_{máx} (%ref) (Morales)	PI,m_{máx} (%ref) (Wilson)	PI,es_{máx} (cm H ₂ O)	PI,gas_{máx} (cm H ₂ O)	PI,di_{máx} (cm H ₂ O)
1	ND	ND	ND	-107,0	34,0	141,0
2	-108	80	99	-86,2	32,4	118,4
3	-82	77	107	-71,6	36,3	107,9
4	-96	74	100	-87,4	25,4	112,8
5	-150	115	169	-139,0	11,0	150,0
6	-116	74	113	-68,1	19,3	87,3
7	-97	93	128	-76,6	-9,9	66,7
8	-71	68	100	-50,0	7,5	57,5
9	-77	69	95	-45,8	29,4	75,2
10	-85	78	116	-64,7	ND	ND
11	-85	63	79	-85,0	ND	ND
12	-97	89	118	-55,0	67,0	123,0
13	-81	73	102	-95,0	37,0	132,0
14	-90	82	130	-99,0	6,0	105,0

X	-95	79	112	-80,7	24,6	106,4
±SD	21	13	22	24,9	19,8	29,4

15	-152	123	178	-69,0	47,0	116,0
16	-87	75	110	-71,9	10,9	82,8
17	-84	80	95	-57,7	6,8	64,5
18	-83	73	100	-90,0	30,0	120,0
19	-90	74	89	-62,0	11,1	73,1
20	-79	64	90	-77,3	7,2	84,5
21	-87	85	131	-103,7	36,6	140,0
22	-48	51	62	-45,6	8,2	53,8
23	-50	50	68	-57,0	ND	ND
24	-40	45	64	-74,2	19,3	93,6
25	-62	61	87	-82,0	29,0	111,0
26	-96	82	117	-74,0	20,0	94,0
27	-96	74	100	-99,9	72,6	172,5
28	-66	55	77	-59,0	12,0	71,0
29	-21	21	25	ND	ND	ND
30	-61	54	78	-76,0	32,0	108,0
31	-64	53	67	-56,0	44,0	100,0
32	-76	78	73	ND	ND	ND
33	-55	57	74	-77,0	57,0	134,0
34	-61	55	88	-48,0	34,0	82,0

X	-73	65	89	-71,1	28,1	100,0
±SD	27	21	31	16,3	19,1	30,4

GLOBAL X	-82	71	98	-75,3	26,7	102,7
±SD	40	19	30	20,7	19,1	29,6

Abreviaturas: **PI,m_{máx}**: presión inspiratoria máxima; **spPI,m_{máx}**: presión inspiratoria máxima con valores de referencia para población mediterránea (Morales 1997⁶¹); **PI,es_{máx}**: presión esofágica máxima; **PI,gas_{máx}**: presión gástrica máxima; **PI,di_{máx}**: presión transdiafragmática máxima.

TABLA 6. Reserva funcional de los músculos respiratorios

Paciente	$\overline{PI,di / PI,di_{máx}}$	$\overline{PI,es/PI,es_{máx}}$	TTdi	TTmr
1	0,03	0,01	0,01	0,02
2	0,10	0,08	ND	ND
3	0,11	0,12	0,04	0,04
4	0,06	0,06	0,03	0,03
5	0,04	0,03	ND	ND
6	0,17	0,09	0,09	0,05
7	0,13	0,08	0,03	0,03
8	0,12	0,05	ND	ND
9	0,14	0,11	0,05	0,05
10	ND	0,06	ND	0,03
11	ND	0,09	ND	0,04
12	0,08	0,05	0,03	0,02
13	0,08	0,05	ND	ND
14	0,08	0,07	0,04	0,03
X	0,10	0,07	0,04	0,03
$\pm SD$	0,04	0,03	0,02	0,01
15	0,13	0,07	0,02	0,02
16	0,13	0,07	0,05	0,02
17	0,15	0,09	0,07	0,04
18	0,09	0,06	0,02	0,01
19	0,10	0,06	0,05	0,03
20	0,08	0,03	0,03	0,01
21	0,10	0,04	0,05	0,02
22	0,20	0,20	0,08	0,08
23	ND	0,03	ND	0,01
24	0,16	0,14	0,07	0,06
25	0,04	0,03	0,01	0,01
26	0,14	0,12	0,04	0,04
27	0,03	0,04	0,02	0,02
28	0,17	0,14	0,04	0,04
29	ND	ND	ND	ND
30	0,18	0,09	0,03	0,03
31	0,19	0,23	0,06	0,06
32	ND	ND	ND	ND
33	0,14	0,13	0,03	0,03
34	0,10	0,14	0,04	0,06
X	0,13	0,10	0,04	0,03
$\pm SD$	0,05	0,06	0,02	0,02
GLOBAL X	0,11	0,08	0,04	0,03
$\pm SD$	0,05	0,05	0,02	0,02

Abreviaturas: TTdi: índice tensión-tiempo del diafragma; TT_{MR}: índice tensión-tiempo global de los músculos respiratorios.

C
O
N
T
R
O
L
E
S

TABLA 7. Resistencia de los músculos respiratorios

Paciente	PMT (cm H ₂ O)	Tlím (min)
1	-80,3	ND
2	ND	ND
3	-66,5	20
4	-96,0	19
5	ND	ND
6	-87,1	14
7	-85,5	12
8	ND	ND
9	ND	ND
10	-76,9	13
11	-64,8	8
12	-81,6	11
13	ND	ND
14	-73,1	13

X	-79,1	14
±SD	10,0	4

E
P
O
C

15	-85,0	9
16	-57,0	20
17	-70,0	11
18	ND	ND
19	-80,6	7
20	-79,2	15
21	-85,5	5
22	-48,0	7
23	-39,4	8
24	-21,4	5
25	-42,0	8
26	-57,0	8
27	ND	ND
28	ND	ND
29	-18,0	6
30	-47,0	13
31	-28,0	20
32	-24,0	5
33	-47,0	20
34	-46,2	ND

X	-51,5	10
±SD	22,3	6

GLOBAL X	-61,0	12
±SD	23,0	5

Abreviaturas: PMT: presión máxima tolerada en la prueba incremental; Tlím: tiempo de resistencia en la prueba submáxima de carga constante.

TABLA 8. a) Patrón ventilatorio en reposo
 b) Parámetros ventilatorios, metabólicos y de carga durante el esfuerzo máximo en la prueba ergométrica incremental

a)

Paciente	Vt (ml)	RR (min ⁻¹)	T _I (seg)	T _I /T _{TOT}
1	736	15	1,7	0,4
2	ND	ND	ND	ND
3	667	24	0,8	0,3
4	540	15	1,8	0,5
5	ND	ND	ND	ND
6	1246	7	4,4	0,5
7	588	18	1,3	0,4
8	ND	ND	ND	ND
9	979	11	2,4	0,4
10	784	11	2,3	0,4
11	727	13	1,8	0,4
12	598	18	1,3	0,4
13	ND	ND	ND	ND
14	683	12	2,4	0,5

X	755	14	2,0	0,4
±SD	212	5	1,0	0,1

15	800	19	0,9	0,3
16	ND	21	1,1	0,4
17	562	17	1,7	0,5
18	ND	ND	ND	ND
19	649	11	2,5	0,5
20	552	17	1,3	0,4
21	681	12	2,5	0,5
22	508	17	1,4	0,4
23	748	15	1,8	0,4
24	634	17	1,6	0,4
25	539	21	1,0	0,4
26	667	16	1,2	0,3
27	542	15	1,5	0,4
28	714	15	0,8	0,3
29	620	25	0,8	0,4
30	400	16	0,9	0,3
31	687	12	1,2	0,3
32	875	19	ND	ND
33	734	12	1,0	0,3
34	661	18	1,3	0,4

X	643	17	1,4	0,4
±SD	114	4	0,5	0,1

GLOBAL X	683	16	1,6	0,4
±SD	162	4	0,8	0,1

b)

Vt (ml)	· VO ₂ (ml/Kg/min)	· VO ₂ %ref	RQ	· WR (watts)
ND	ND	ND	ND	ND
1663	33,2	75	1,2	225
ND	ND	ND	ND	ND
2311	29,7	84	1,2	150
ND	ND	ND	ND	ND
2742	22,7	73	1,1	175
ND	ND	ND	ND	ND
ND	ND	ND	ND	ND
2272	21,6	89	1,0	150
2500	39,8	90	1,2	175
ND	ND	ND	ND	ND
ND	ND	ND	ND	ND
ND	ND	ND	ND	ND

2298	29,4	82	1,1	175
401	8	8	0,1	31

ND	ND	ND	ND	175
1252	ND	ND	ND	ND
1549	33,8	73	1,1	75
2122	20,4	60	1,2	100
1826	23,8	40	1,3	100
1915	23,7	86	1,1	125
ND	ND	ND	ND	ND
1330	22,6	49	1,1	75
1541	23,0	74	1,2	100
1199	10,2	34	0,9	25
1305	20,7	68	1,0	100
1133	ND	ND	ND	125
ND	ND	ND	ND	ND
ND	ND	ND	ND	ND
807	14,5	33	1,0	50
1201	ND	ND	ND	100
812	ND	ND	ND	125
1086	17,7	55	1,0	50
1201	ND	ND	ND	100
1098	12,4	53	1,0	75

1336	20,3	57	1,1	94
370	6,5	17	0,1	36

1565	23	65	1,1	113
559	8	19	0,1	49

Abreviaturas: **Vt**: volumen corriente; **RR**: frecuencia respiratoria; **T_I**: tiempo inspiratorio; **T_I/T_{TOT}**: relación entre el tiempo inspiratorio y el tiempo total de cada ciclo respiratorio; **VO₂**: consumo de oxígeno; **RQ**: cociente respiratorio. **WR**: carga máxima tolerada en el cicloergómetro.

TABLA 9. Distribución porcentual (inmunohistoquímica con anticuerpos monoclonales anti-isoformas de las MyHCs) y tamaño fibrilar

DIAFRAGMA

Paciente	TIPO I %	TIPO II %	Tipo I (Dmin, μm)	Tipo I (Dmin, SD)	Tipo II (Dmin, μm)	Tipo II (Dmin, SD)	Diámetro Global (μm)
1	ND	ND	ND	ND	ND	ND	ND
2	34	66	31,0	6,2	30,4	7,9	30,6
4	30	70	38,5	10,5	46,8	7,2	44,3
6	57	43	44,0	7,0	41,8	8,7	43,1
8	51	49	49,1	13,4	59,7	10,0	54,3
10	56	44	45,4	9,2	45,4	6,5	45,4
11	48	52	50,1	10,4	51,1	10,6	50,6
12	ND	ND	ND	ND	ND	ND	ND
14	ND	ND	ND	ND	ND	ND	ND

X	46	54	43,0	9,4	45,9	8,5	44,7
±SD	11	11	7,2	2,6	9,8	1,6	8,1

17	59	41	45,6	10,3	50,4	5,6	47,6
18	67	33	44,4	14,9	71,0	13,5	53,2
19	57	43	37,1	8,3	35,6	7,6	36,5
20	48	52	43,3	10,7	50,3	13,2	46,9
21	ND	ND	ND	ND	ND	ND	ND
22	42	58	41,0	8,5	36,3	7,4	38,3
23	49	51	40,8	9,6	43,1	7,1	42,0
24	ND	ND	ND	ND	ND	ND	ND
25	65	35	42,8	9,2	47	10,6	44,3
29	55	45	37,0	8,5	41,6	9,2	39,1
34	60	40	44,9	12,4	41,4	8,2	43,5

X	56	44	41,9	10,3	46,3	9,1	43,5
±SD	8	8	3,2	2,2	10,7	2,7	5,3

GLOBAL X	52	48	42,3	9,9	46,1	8,9	44,0
±SD	10	10	5,0	2,3	10,0	2,3	6,3

Abreviaturas: **MyHC:** cadenas pesadas de miosina; **Dmín:** diámetro mínimo; **SD:** desviación estándar de la distribución fibrilar (índice de la “heterogeneidad” en la distribución); **μm:** micrómetros.

C
O
N
T
R
O
L
E
S

E
P
O
C

TABLA 10. Distribución porcentual (inmunohistoquímica con anticuerpos monoclonales anti-isoformas de las MyHCs) y tamaño fibrilar

INTERCOSTAL EXTERNO

C
O
N
T
R
O
L
E
S

E
P
O
C

Paciente	TIPO I (%)	TIPO II (%)	Tipo I (Dmin, µm)	Tipo I (Dmin, SD)	Tipo II (Dmin, µm)	Tipo II (Dmin, SD)	Diámetro Global (µm)
3	43	57	33,3	6,7	34,4	7,0	33,9
5	83	17	45,6	10,1	39,8	14,0	44,6
7	64	36	29,9	5,6	26,7	5,6	28,8
9	65	35	37,2	5,2	38,3	9,6	37,6
12	42	58	41,5	10,8	56,5	7,4	23,7
13	53	47	45,7	8,4	42,6	9,4	44,2
14	ND	ND	ND	ND	ND	ND	ND
X	58	42	38,9	7,8	39,7	8,8	35,5
±SD	16	16	6,5	2,3	9,9	2,9	8,4
15	40	60	40,7	7,7	44,0	8,5	42,7
16	40	60	52,5	8,2	54,2	7,6	53,4
20	43	57	55,4	7,4	37,9	7,3	45,5
21	82	18	37,8	8,4	32,4	7,5	36,9
22	ND	ND	ND	ND	ND	ND	ND
26	37	63	48,5	6,3	49,6	8,0	49,2
27	79	21	46,8	7,1	43,9	11,7	46,2
28	65	35	50,9	4,6	51,7	8,7	51,3
30	39	61	35,2	6,3	37,8	7,4	36,8
31	46	54	50,0	7,6	49,2	8,2	49,6
32	75	25	36,8	6,7	36,6	5,4	36,7
33	46	54	65,0	7,4	59,0	8,2	61,8
X	54	46	47,2	7,1	45,1	8,1	46,4
±SD	18	18	9,0	1,1	8,4	1,5	7,9
GLOBAL X	55	45	44,3	7,3	43,2	8,3	42,5
±SD	17	17	9,0	1,6	9,0	2,1	9,4

Abreviaturas: ver tablas anteriores.

TABLA 11. Distribución porcentual (inmunohistoquímica con anticuerpos monoclonales anti-isoformas de las MyHCs) y tamaño fibrilar

DELTOIDES

Paciente	TIPO I (%)	TIPO II (%)	Tipo I (Dmin, μm)	Tipo I (Dm, SD)	Tipo II (Dmin, μm)	Tipo II (Dm, SD)	Diámetro Global (μm)
1	47	53	54,2	10,4	61,4	9,8	57,9
2	34	66	50,8	8,7	53,0	9,5	52,3
4	52	48	64,5	18,0	67,7	21,0	66,0
6	37	63	53,1	9,2	62,8	17,6	59,2
8	51	49	58,4	16,5	55,5	12,5	57,0
10	39	61	43,8	8,4	43,0	9,4	43,3
11	ND	ND	ND	ND	ND	ND	ND
12	ND	ND	ND	ND	ND	ND	ND
14	ND	ND	ND	ND	ND	ND	ND

X	43	57	54,1	11,9	57,2	13,3	56,0
±SD	8	8	7,0	4,3	8,7	4,9	7,6

17	ND	ND	ND	ND	ND	ND	ND
18	ND	ND	ND	ND	ND	ND	ND
19	47	53	25,6	5,6	35,3	5,1	30,8
20	39	61	62,0	10,2	52,3	10,8	61,2
21	ND	ND	ND	ND	ND	ND	ND
22	33	67	38,5	7,8	ND	ND	ND
23	ND	ND	ND	ND	ND	ND	ND
24	ND	ND	ND	ND	ND	ND	ND
25	22	78	55,3	10,8	54,8	12,2	54,9
29	45	55	49,4	11,6	44,2	10,8	46,6
34	24	76	48,4	7,6	43,3	9,9	44,5

X	35	65	46,6	8,9	46,0	9,8	47,6
±SD	11	11	12,9	2,3	7,8	2,7	11,5

GLOBAL X	39	61	50,3	10,4	52,1	11,7	52,2
±SD	10	10	10,6	3,6	9,8	4,3	10,1

Abreviaturas: ver tablas anteriores.

TABLA 12. a) Actividad enzimática fibrilar (actividad histoquímica ATPasa)
 b) Actividad enzimática muscular global

C
O
N
T
R
O
L
E
S

E
P
O
C

a)

Paciente	ATPasa I (%)	ATPasa IIa (%)	ATPasa IIb (%)
1	58	42	0
2	52	39	9
4	43	44	13
6	42	48	10
8	48	34	18
10	54	34	12
11	51	41	8
12	49	41	10
14	74	22	4

X	52	38	9
±SD	10	8	5

17	58	38	4
18	55	30	15
19	51	22	27
20	55	30	15
21	39	41	20
22	40	60	0
23	42	39	19
24	63	31	6
25	72	20	8
29	54	42	4
34	65	28	7

X	54	35	11
±SD	11	11	8

GLOBAL X	53	36	11
±SD	10	10	7

DIAFRAGMA

b)

CS mmol.min ⁻¹ .g ⁻¹	CPK mmol.min ⁻¹ .g ⁻¹	LDH mmol.min ⁻¹ .g ⁻¹	PFK mmol.min ⁻¹ .g ⁻¹
67	550	148	64
114	3050	203	129
68	ND	ND	218
62	1100	175	109
181	1684	103	51
101	1125	234	84
94	670	148	93
161	1600	220	49
116	1250	138	54

107	1379	171	95
42	782	45	54

154	624	149	209
57	ND	ND	42
104	2345	147	131
69	1820	234	13
133	1150	240	209
128	1248	265	78
ND	ND	ND	ND
100	1957	340	54
88	870	325	7
61	2230	244	36
71	1027	224	20

97	1475	241	80
33	625	66	77

102	1429	208	87
37	682	66	66

Abreviaturas: **ATPasa:** adenosin trifosfatasa; **CS:** citrato sintasa; **CPK:** creatin fosfoquinasa; **LDH:** lactato deshidrogenasa; **PFK:** fosfofructoquinasa.

TABLA 13. a) Actividad enzimática fibrilar (actividad histoquímica ATPasa)
 b) Actividad enzimática muscular global

C
O
N
T
R
O
L
E
S

E
P
O
C

a)

Paciente	ATPasa I (%)	ATPasa IIa (%)	ATPasa IIb (%)
3	44	22	34
5	52	22	26
7	56	24	20
9	76	17	7
12	58	17	25
13	38	25	37
14	ND	ND	ND
X	54	21	25
±SD	13	3	11

29	43	30	27
26	50	20	30
13	45	55	0
14	52	48	0
15	50	14	36
27	35	34	31
28	34	30	36
30	52	43	5
31	45	40	15
32	40	41	29
33	43	44	23
34	47	37	16
X	45	36	21
±SD	6	12	13

GLOBAL X	48	31	22
±SD	10	12	12

b)

CS mmol.min ⁻¹ .g ⁻¹	CPK mmol.min ⁻¹ .g ⁻¹	LDH mmol.min ⁻¹ .g ⁻¹	PFK mmol.min ⁻¹ .g ⁻¹
93	1950	265	42
ND	ND	ND	ND
106	2350	253	51
ND	ND	ND	ND
114	2245	246	47
98	2132	260	38
123	2426	261	46
107	2221	257	45
12	187	7	5

75	4256	295	72
ND	ND	ND	ND
85	3434	363	129
49	4326	246	32
133	6867	173	70
62	4726	332	45
ND	ND	ND	ND
ND	ND	ND	ND
52	4450	326	84
ND	ND	ND	ND
ND	ND	ND	ND
47	4635	350	93

72	4671	298	75
30	1056	67	32

86	3552	271	63
29	1609	68	28

Abreviaturas: ver tablas anteriores

TABLA 14. a) Actividad enzimática fibrilar (actividad histoquímica ATPasa)
 b) Actividad enzimática muscular global

DELTOIDES

a)

Paciente	ATPasa I (%)	ATPasa IIa (%)	ATPasa IIb (%)
1	49	34	17
2	42	38	20
4	46	36	18
6	40	40	20
8	56	29	15
10	48	34	18
11	42	38	20
12	ND	ND	ND
14	55	30	15
X	47	35	18
±SD	6	4	2

C
O
N
T
R
O
L
E
S

b)

CS mmol.min ⁻¹ .g ⁻¹	CPK mmol.min ⁻¹ .g ⁻¹	LDH mmol.min ⁻¹ .g ⁻¹	PFK mmol.min ⁻¹ .g ⁻¹
22	480	155	16
38	3137	220	171
34	ND	ND	ND
25	908	194	3
67	1584	117	143
58	929	247	15
55	627	166	42
47	1700	233	42
69	1405	143	26
46	1346	184	57
17	847	47	63

E
P
O
C

17	54	30	16
18	ND	ND	ND
19	55	30	15
20	48	34	18
21	ND	ND	ND
22	55	32	13
23	45	39	16
24	47	37	16
25	65	25	10
29	55	26	19
34	44	32	24
X	52	32	16
±SD	7	5	4

65	473	164	49
ND	ND	ND	ND
38	2146	168	154
67	1799	246	44
13	1030	284	4
73	1350	287	20
81	1615	247	5
62	2365	389	105
57	941	337	40
76	2163	272	54
143	1106	246	84
67	1499	264	56
33	621	68	47

GLOBAL X	50	33	17
±SD	7	4	3

57	1431	229	57
28	711	71	53

Abreviaturas: ver tablas anteriores

TABLA 15. Densidad capilar

DIAFRAGMAC
O
N
T
R
O
L
E
S

Paciente	Caps/fibra	Fibras/cap	$\mu\text{m}^2/\text{capilar}$	Capilares/ μm^2
1	ND	ND	ND	ND
2	1,6	0,6	458,8	2,2
4	1,6	0,6	969,1	1,0
6	1,8	0,6	810,4	1,2
8	1,6	0,6	1458,0	0,7
10	1,8	0,6	899,3	1,1
11	1,6	0,6	1268,0	0,8
12	ND	ND	ND	ND
14	ND	ND	ND	ND
X	1,7	0,6	977,3	1,2
$\pm SD$	0,1	0,04	351,7	0,5

E
P
O
C

17	3,5	0,3	115,2	2,0
18	ND	ND	ND	ND
19	2,5	0,4	418,5	2,4
20	3,5	0,3	501,6	2,0
21	ND	ND	ND	ND
22	4,8	ND	ND	ND
23	2,5	0,4	554,3	1,8
24	ND	ND	ND	ND
25	4,2	0,2	369,8	2,7
29	3,1	0,3	383,6	2,6
34	3,5	0,3	430,6	2,4
X	3,4	0,3	396,2	2,3
$\pm SD$	0,8	0,1	140,0	0,3

GLOBAL X	2,7	0,5	664,4	1,8
$\pm SD$	1,1	0,2	390,2	0,7

Abreviaturas: **Caps/fibra:** número de capilares por fibra; **fibras/cap:** número de fibras irrigadas por cada capilar; **(μm^2)/capilar:** área fibrilar irrigada por un capilar; **capilares/ μm^2 :** número de capilares por área fibrilar.

TABLA 16. Densidad capilar

INTERCOSTAL EXTERNOC
O
N
T
R
O
L
E
S

Paciente	Caps/fibra	Fibras/cap	$\mu\text{m}^2/\text{capilar}$	Capilares/ μm^2
3	2,1	0,5	430,7	2,3
5	2,8	0,4	559,1	1,8
7	1,6	0,6	650,4	1,5
9	2,1	0,5	541,6	1,9
12	2,6	0,4	583,6	1,7
13	2,6	0,4	ND	ND
14	ND	ND	ND	ND
X	2,3	0,5	553,1	1,8
$\pm SD$	0,5	0,1	79,9	0,3

E
P
O
C

15	2,8	0,4	512,5	2,0
16	2,9	0,4	784,0	1,3
20	3,2	0,3	525,4	1,9
21	3,1	0,3	342,9	2,9
22	3,0	0,3	ND	ND
26	2,5	0,4	760,9	1,3
27	3,9	0,3	734,2	1,4
28	ND	ND	ND	ND
30	2,4	0,4	442,9	2,3
31	3,6	0,3	540,0	1,9
32	3,1	0,3	347,3	2,9
33	2,9	0,3	1020,4	1,0
X	3,0	0,3	601,1	1,9
$\pm SD$	0,4	0,05	217,5	0,7

GLOBAL X	2,8	0,4	585,1	1,9
$\pm SD$	0,6	0,1	181,1	0,6

Abreviaturas: ver tablas anteriores

TABLA 17. Densidad capilar

DELTOIDES

C
O
N
T
R
O
L
E
S

Paciente	Caps/fibra	Fibras/cap	µm ² /capilar	Capilares/µm ²
1	3,1	0,3	849,4	1,2
2	3,1	0,3	686,3	1,5
4	3,1	0,3	1105,1	0,9
6	3,8	0,3	728,8	1,4
8	2,2	0,5	1159,1	0,9
10	2,2	0,5	668,8	1,5
11	1,8	0,6	ND	ND
12	ND	ND	ND	ND
14	ND	ND	ND	ND
X	2,6	0,4	866,2	1,2
±SD	0,6	0,1	216,0	0,3

E
P
O
C

17	ND	ND	ND	ND
18	ND	ND	ND	ND
19	1,7	0,6	448,4	2,2
20	2,3	0,4	1081,5	0,9
21	ND	ND	ND	ND
22	ND	ND	ND	ND
23	ND	ND	ND	ND
24	ND	ND	ND	ND
25	2,2	0,5	1076,1	0,9
29	2,1	0,5	820,6	1,2
34	2,3	0,4	666,5	1,5
X	2,1	0,5	818,6	1,4
±SD	0,3	0,1	271,9	0,5

GLOBAL X	2,4	0,4	844,6	1,3
±SD	0,5	0,1	231,3	0,4

Abreviaturas: ver tablas anteriores

TABLA 18. Datos antropométricos y nutricionales más representativos

	Edad (años)	BMI (Kg/m²)	Hb (g/dl)	Proteínas (g/dl)	Albúmina (g/dl)
CONTROLES	X 56	25,43	13,4	6,7	4,1
	±SD 13	3,2	1,4	0,6	0,4
	↓	↓	↓	↓	↓
	NS	NS	p<0.05	NS	NS
	↑	↑	↑	↑	↑
EPOC	X 61	23,49	14,4	6,6	4,1
	±SD 10	4,5	1,2	0,5	0,4

TABLA 19. Variables más representativas de la función pulmonar

	FEV₁ (%ref)	FEV₁/FVC (%)	RV/TLC (%)	DL_{CO} (%ref)	PaO₂ (mm Hg)
CONTROLES	X 94	76	37	98	90
	±SD 9	6	16	16	8
	↓	↓	↓	↓	↓
	p<0.001	p<0.001	p<0.001	p<0.001	p<0.05
	↑	↑	↑	↑	↑
EPOC	X 49	56	58	73	83
	±SD 18	9	12	18	11

Abreviaturas: Ver tablas anteriores

TABLA 20. Variables más representativas de fuerza de los músculos tanto respiratorios como periféricos

	Plm, máx (cm H₂O)	Plm, máx (%ref) (Wilson)	spPlm, máx (%ref) (Morales)	Pl,es máx (cm H₂O)	Pl,di máx (cm H₂O)	Fuerza mano no dominante (dinas)
CONTROLES	X -95	112	79	-80,7	106,4	35
	±SD 21	22	13	24,9	29,4	8
	↓	↓	↓	↓	↓	↓
	NS	p<0.05	p=0.08	NS	NS	p<0.05
	↑	↑	↑	↑	↑	↑
EPOC	X -73	89	65	-71,1	100,0	28
	±SD 27	31	21	16,3	30,4	7

TABLA 21. Variables de reserva funcional y resistencia de los músculos respiratorios

	PI,di /Pl,di máx	TTdi	TTmr	PMT (cm H₂O)	Tlím (min)
CONTROLES	X 0,10	0,04	0,03	-79,1	14
	±SD 0,04	0,02	0,01	10,0	4
	↓	↓	↓	↓	↓
	NS	NS	NS	p<0.001	NS
	↑	↑	↑	↑	↑
EPOC	X 0,13	0,04	0,03	-51,5	10
	±SD 0,05	0,02	0,02	22,3	6

Abreviaturas: Ver tablas anteriores

TABLA 22. Parámetros ventilatorios, metabólicos y de carga durante el esfuerzo máximo en la prueba ergométrica

	Vt (ml)	$\dot{V}O_2$ (ml/Kg/min)	$\dot{V}O_2$ %ref	\dot{WR} (watts)	\dot{WR} (%ref)
CONTROLES	X 2298	29,4	82	175	89
	$\pm SD$ 401	8	8	31	17
	 p<0.05	 p=0.05	 p<0.05	 p<0.05	 p=0.01
EPOC	X 1336	20,3	57	94	59
	$\pm SD$ 370	6,5	17	36	21

Abreviaturas: Ver tablas anteriores

GRÁFICO 1. Porcentajes de fibras tipo I según la expresión de las isoformas de MyHC y la actividad ATPasa

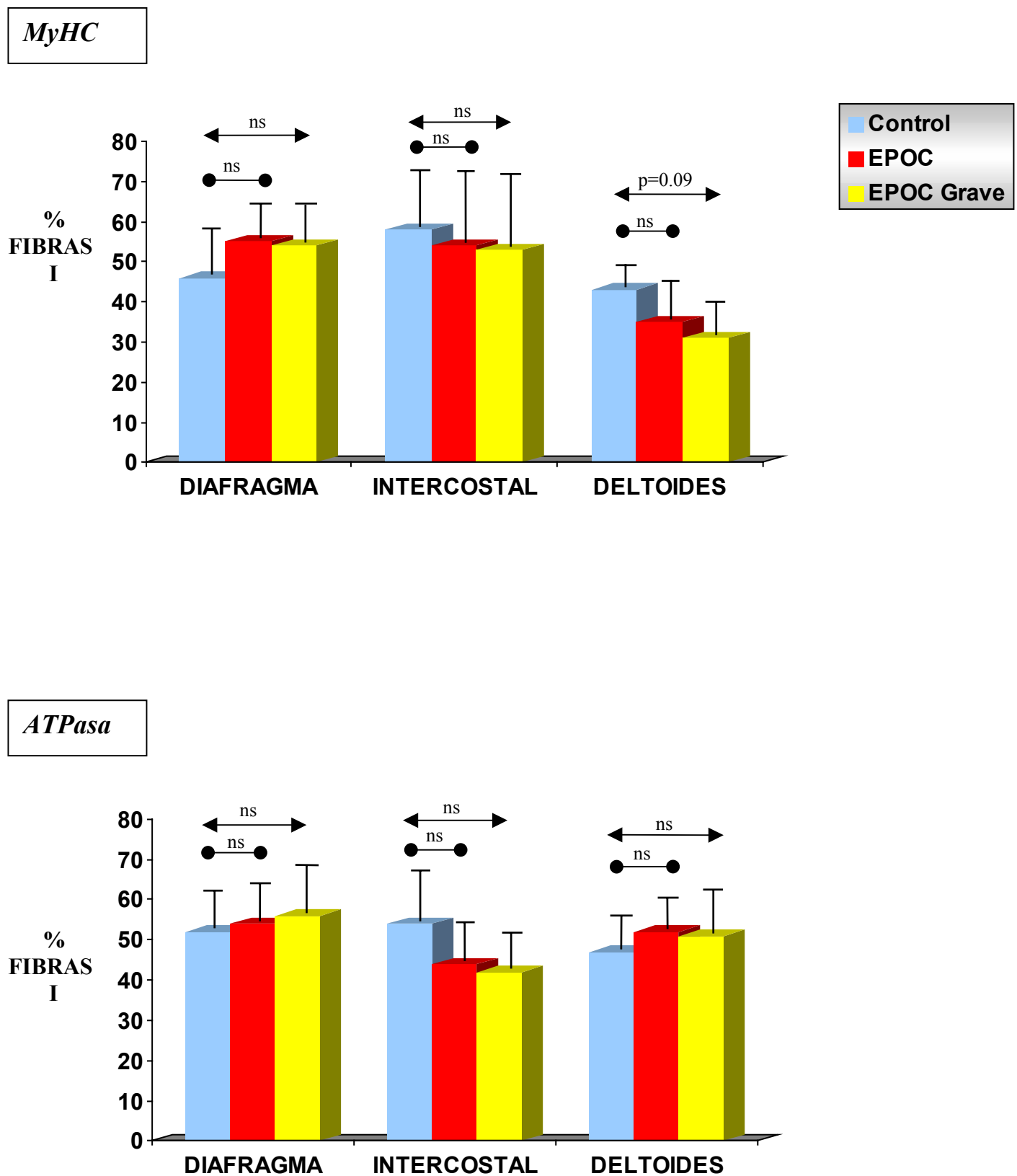
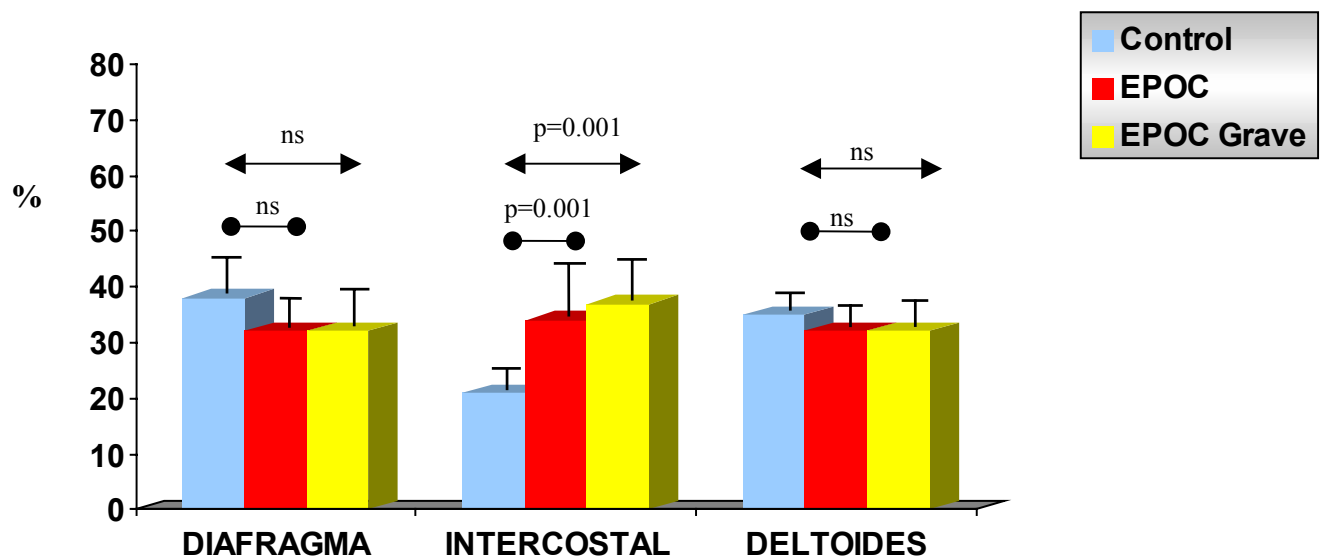


GRÁFICO 2. Porcentajes de ATPasa IIa y IIx

ATPasa IIa



ATPasa IIx

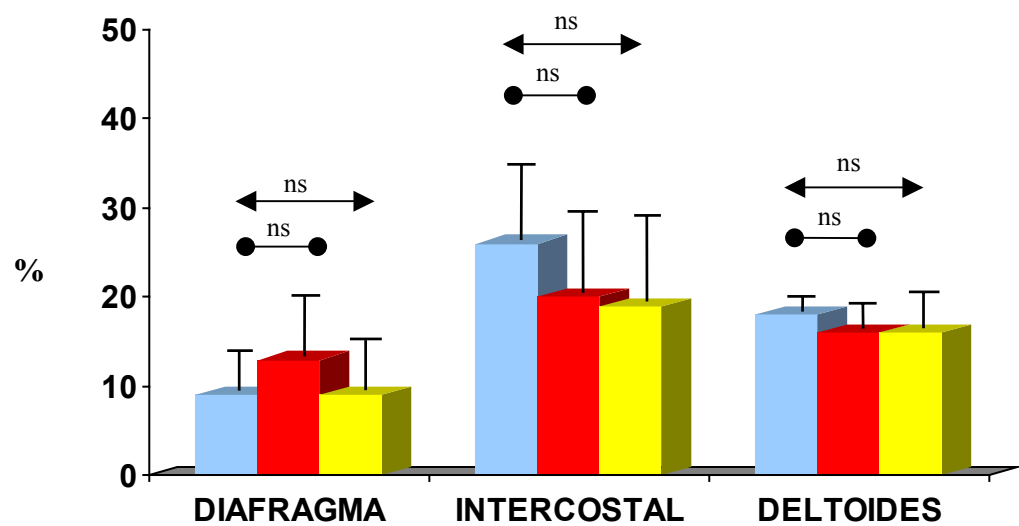


GRÁFICO 3. Tamaños fibrilares (tipificación según expresión de las isoformas de MyHC)

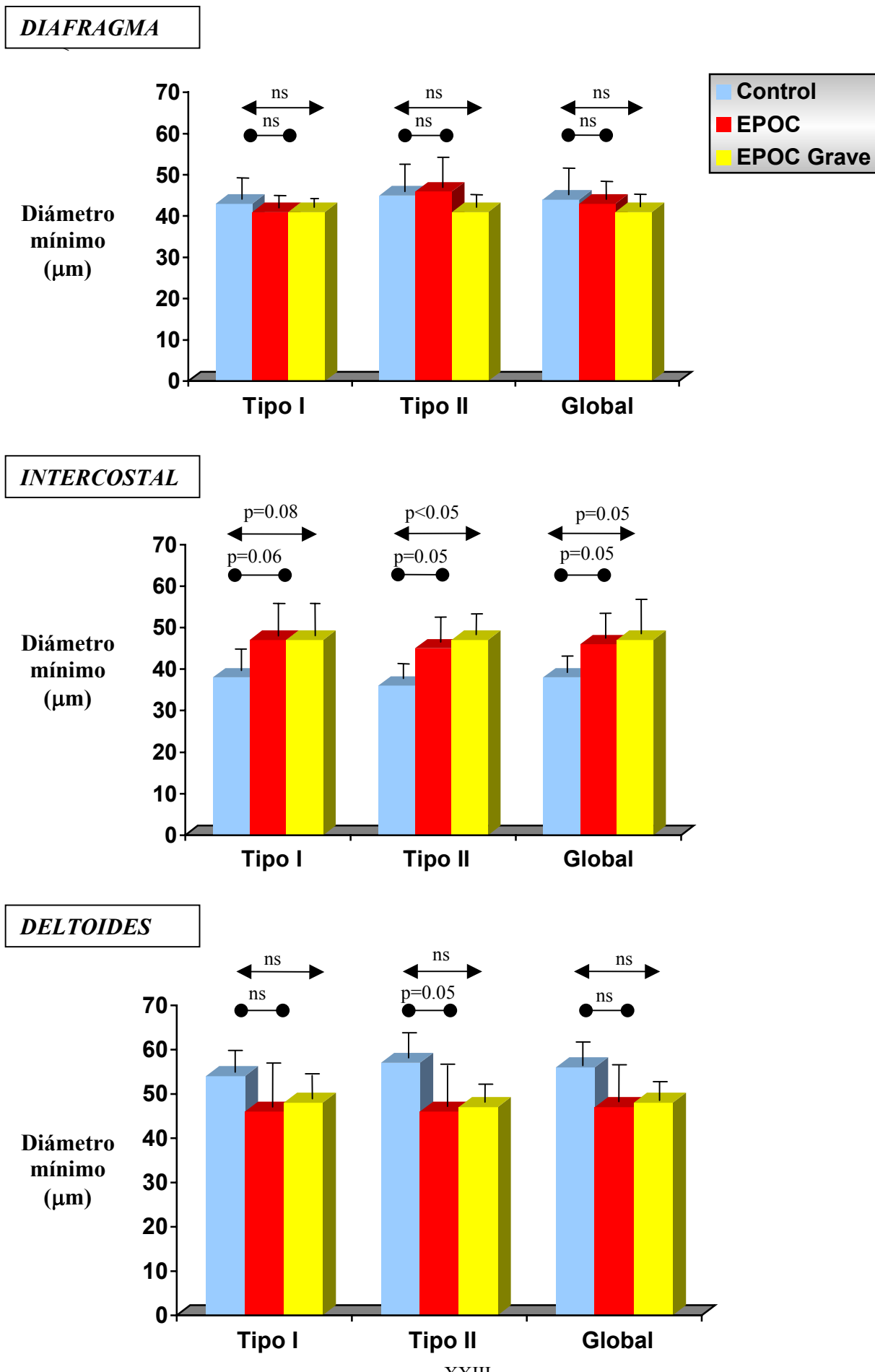
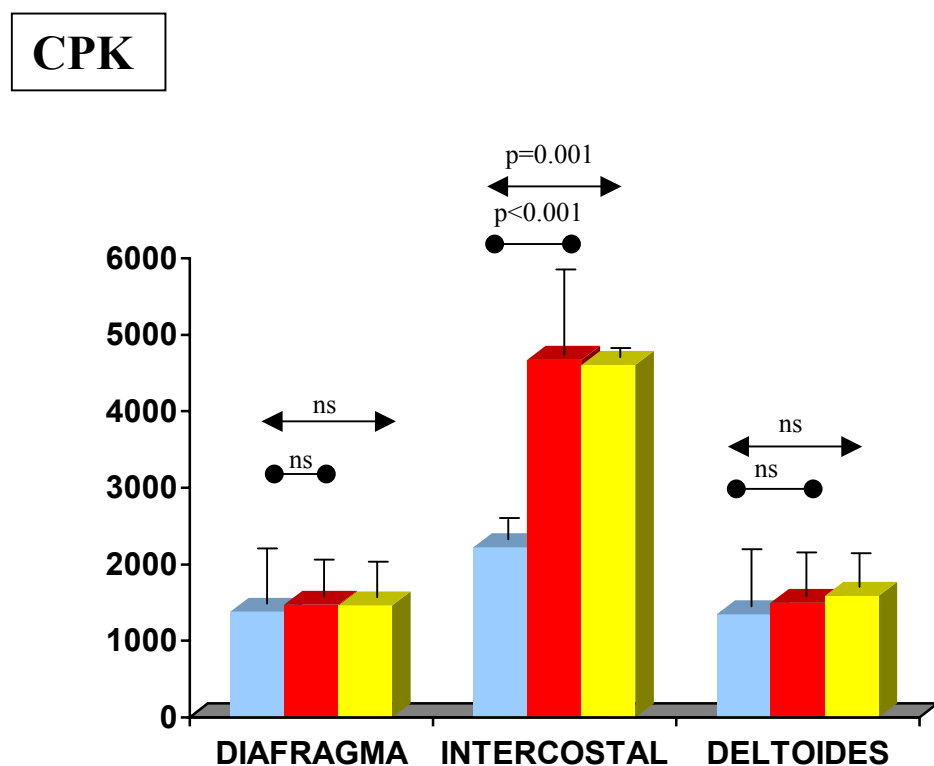
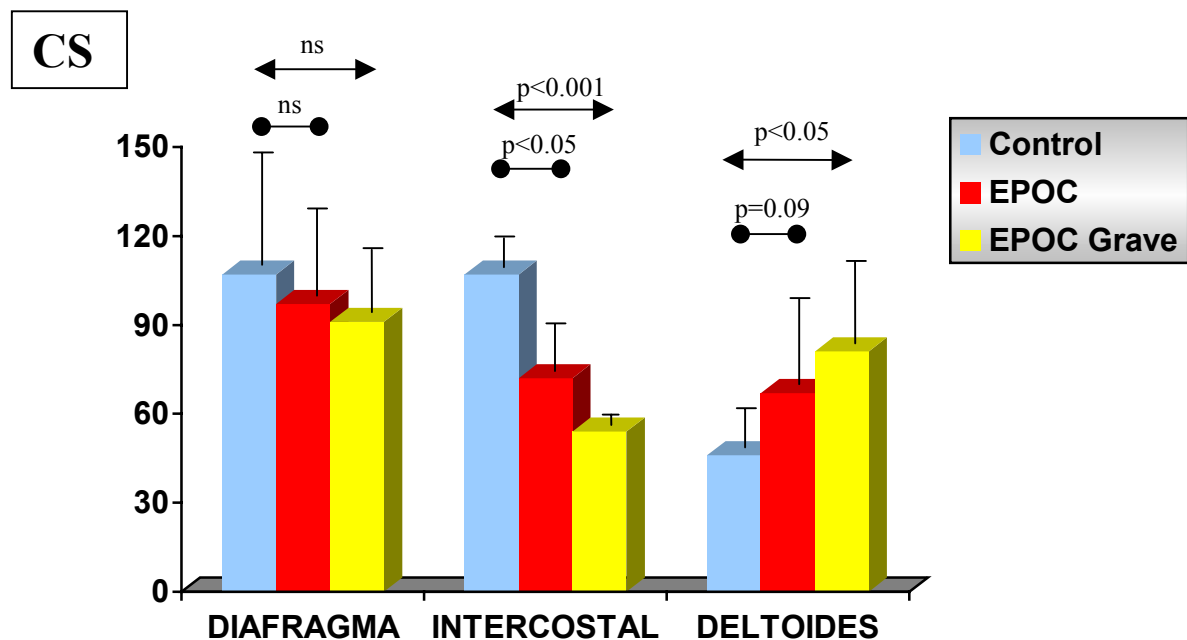
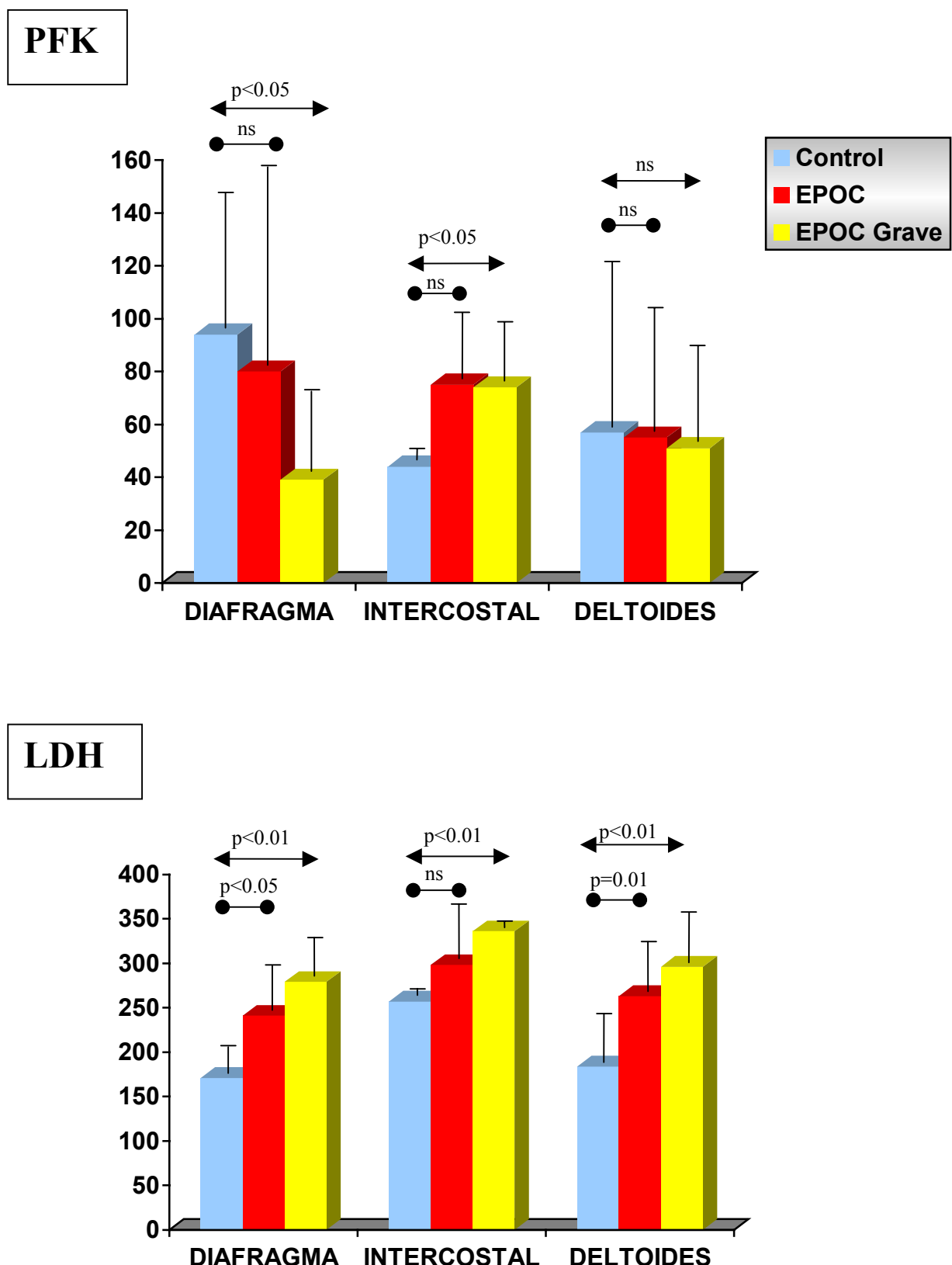


GRÁFICO 4A. Actividad enzimática muscular global: Capacidad oxidativa (CS) y almacenamiento energético (CPK)



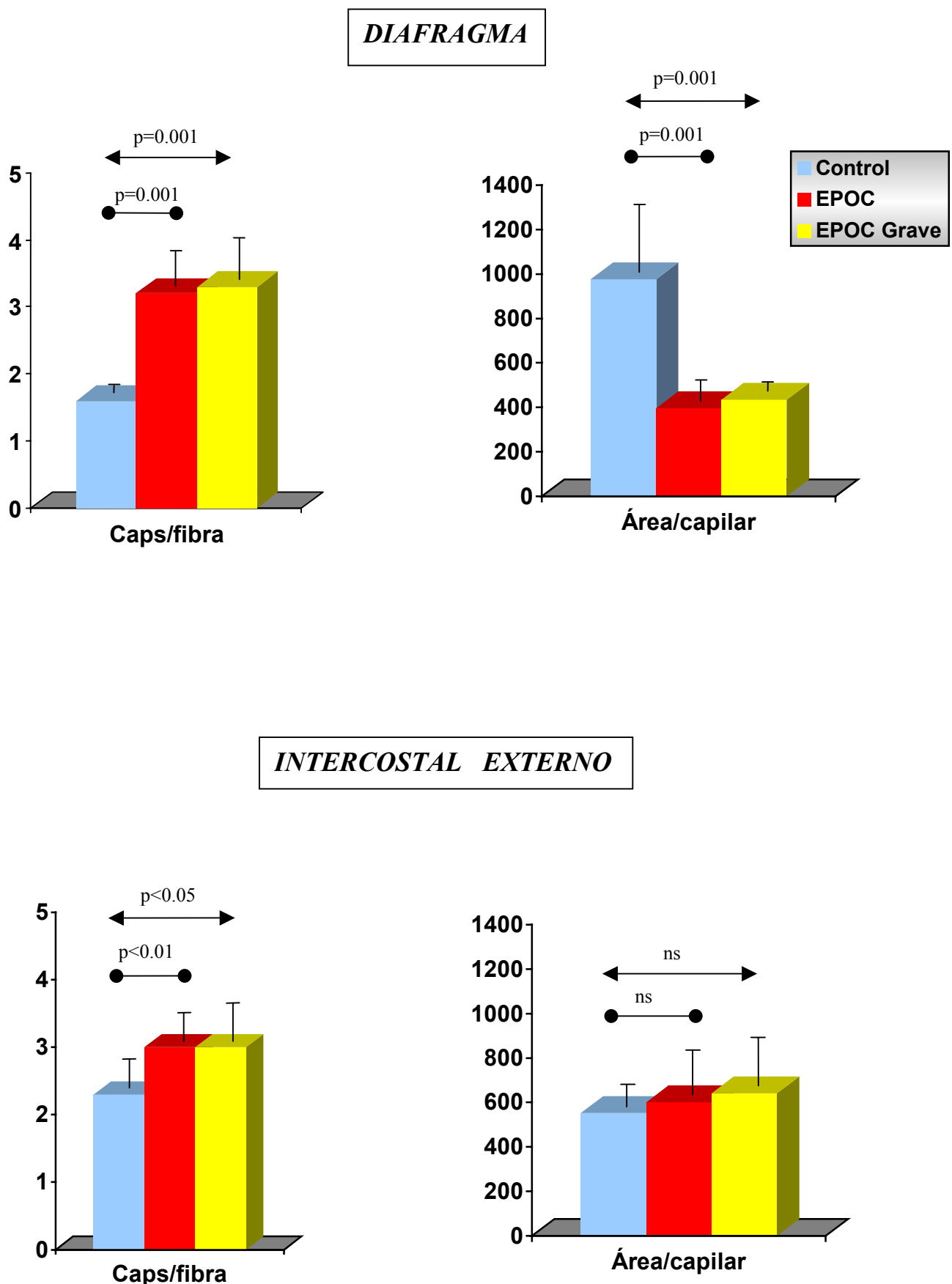
Abreviaturas: Ver tablas anteriores

GRÁFICO 4B. Actividad enzimática muscular global: Capacidad glicolítica



Abreviaturas: Ver tablas anteriores

GRÁFICO 5. Densidad Capilar



DELTOIDES

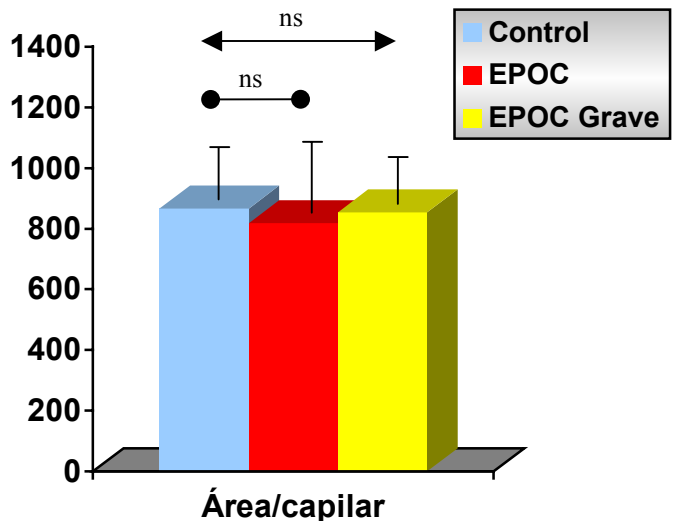
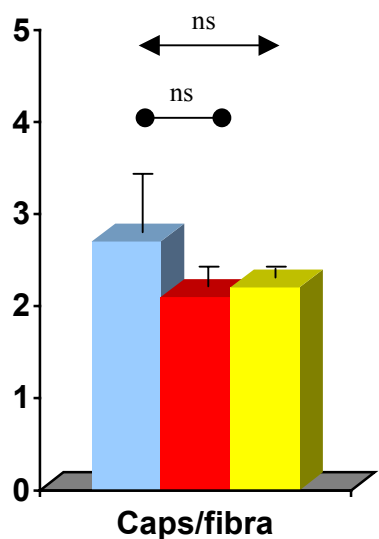


GRÁFICO 6. Comparación del porcentaje de fibras tipo I (oxidativas) por MyHC y ATPasa en los tres grupos analizados

